ROSITA DE FÁTIMA RODRIGUES - TRENTINI



ROSITA DE FÁTIMA RODRIGUES TRENTINI

MECANISMOS DE DEFESA E CONTROLE DE Anastrepha fraterculus (Wiedemann, 1830) (DIPTERA: TEPHRITIDAE) EXPOSTAS A NEMATÓIDES ENTOMOPATOGÊNICOS

Tese apresentada à Coordenação do Curso de Pós-Graduação em Ciências Biológicas, Área de Concentração em Entomologia, da Universidade Federal do Paraná, para a obtenção do Título de Mestre em Ciências Biológicas.

ROSITA DE FÁTIMA RODRIGUES - TRENTINI

MECANISMOS DE DEFESA E CONTROLE DE Anastrepha fraterculus (Wiedemann,1830) (DIPTERA: TEPHRITIDAE) EXPOSTAS A NEMATÓIDES ENTOMOPATOGÊNICOS

Tese apresentada à Coordenação do Curso de Pós-Graduação em Ciências Biológicas, Área de Concentração em Entomologia, da Universidade Federal do Paraná, para a obtenção do Título de Mestre em Ciências Biológicas.

Aprovada em 16 de dezembro de 1996

Dra. Aurea Teresa Schmitt

(orientadora)

Dra Luciana Marinoni

Dr. Claudio Jose Barros de Carvalho

A Deus , pelo dom da vida AGRADEÇO

Ao Egon Frederico Trentini pelo apoio e companheirismo, presença constante em todos os momentos

DEDICO

À todos que passam em nossos caminhos, deixando um pouco de si e levando um pouco de nós OFEREÇO

AGRADECIMENTOS

Ao Departamento de Zoologia da Universidade Federal do Paraná (UFPR), e ao Conselho Nacional de Desenvolvimento Científico e Tecnológico (CNPq), pela oportunidade de crescimento profissional.

À Dra. Áurea T. Schmitt, pesquisadora da EPAGRI\EEI de Itajaí (SC), pela orientação deste trabalho.

À Dra. Lúcia M. de Almeida, profa. do Departamento de Zoologia da UFPR, pela co-orientação, amizade e respeito durante o desenvolvimento da tese.

À Dra. Marineide M. Aguillera, profa. da Universidade Federal de São Carlos de Araras (SP), pelo fornecimento dos nematóides, idéias e sugestões.

Ao Dr. Luis A. B. Salles, pesquisador da EMBRAPA de Pelotas (RS), pelas pupas de Anastrepha fraterculus.

Ao Eng. Agrônomo Ademar Pegoraro, professor do Departamento de Zootecnia da UFPR, pelo fornecimento de favos-de-abelha e larvas de *Galleria mellonella*.

A todos os colegas da EPAGRI\EEI de Itajaí (SC), em especial ao Eng. Agrônomo Lucas Miura pelo uso do laboratório, sugestões, apoio, amizade e respeito.

Ao Departamento de Estatística da UFPR, e ao Dr. Adilson B. de Oliveira da EMBRAPA - CNPFlorestas, pelo auxílio na análise estatística da tese.

Ao Estatístico Henri Stuker, pesquisador da EPAGRI\EEI de Itajaí (SC), pela revisão final da parte estatística da tese.

Aos colegas do curso de mestrado Claudia H. Santos, Crisleide M. Lazzarotto, Luis G. Santos Neto, Maria S. P. Leite e Maurício O. Moura pelo convívio nos momentos difíceis e alegres, fortalecendo a nossa amizade.

Ao colega Airton Pinto Junior, aluno de doutorado do Curso de Pós-Graduação em Entomologia, pelo auxílio em muitas fases do curso.

A todos os professores do Curso de Pós-Graduação em Entomologia, pela transmissão de seus conhecimentos.

E a todos aqueles que de alguma forma contribuíram para a realização deste trabalho.

Índice

Lista de tabelas	viii
Lista de figuras	x
Resumo	xii
Summary	xiii
1 - INTRODUÇÃO	01
2 - REVISÃO DE LITERATURA	03
2.1 - Moscas-das-frutas do gênero Anastrepha Schiner, 1868	03
2.1.1 - Distribuição geográfica e hospedeiros	03
2.1.2 - Aspectos biológicos de Anastrepha fraterculus	04
2.1.3 - Fatores abióticos que afetam A. fraterculus: Temperatura, um	nidade relativa e
fotoperíodo	05
2.1.4 - Técnicas de controle	06
2.2 - Nematóides entomopatogênicos	07
2.2.1 - Interação com o hospedeiro, reprodução do nematóide e associação	o simbiótica com
a bactéria Xenorhabdus spp	07
2.2.2 - Fatores ambientais que afetam os nematóides	09
2.2.3 - Mecanismos de defesa dos insetos: tipos e modo de ação	13
2.2.4 - Hospedeiros.	15
2.2.5 - Controle de Moscas-das-frutas com nematóides	16
3 - OBJETIVOS	18
4 - MATERIAL E MÉTODOS	19
4.1 - Local de desenvolvimento dos experimentos	19

4.2 - Criação de Anastrepha fraterculus em laboratório
4.3 - Criação de Galleria mellonella em laboratório
4.4 - Produção "in vivo" de Steinernema carpocapsae e S. glaseri em lagartas de
G. mellonella. Coleta, estoque e preparo das dosagens de nematóides22
4.5 - Mecanismos de defesa de A. fraterculus contra o parasitismo de S. carpocapsae e
S. glaseri24
4.6 - Controle de A. fraterculus inoculadas com diferentes dosagens de S. carpocapsae e S.
glaseri25
4.7 - Controle de A. fraterculus com S. carpocapsae em diferentes temperaturas25
4.8 - Controle de A. fraterculus com aplicação de S. carpocapsae em solo textura barro-
argilosa26
4.9 - Análise estatística
5 - RESULTADOS28
5.1 - Mecanismos de defesa de A. fraterculus contra o parasitismo de S. carpocapsae e
S. glaseri
5.2 - Controle de A. fraterculus inoculadas com diferentes dosagens de S. carpocapsae e
S. glaseri34
5.3 - Controle de A. fraterculus com S. carpocapsae em diferentes temperaturas42
5.4 - Controle de A. fraterculus com aplicação de S. carpocapsae em solo textura barro-
argilosa
6 - DISCUSSÃO
7 - CONCLUSÕES55
Bibliografia citada58
Anêndices 69

Lista de tabelas

Tabela 1 - Porcentagem de mortalidade de A. fraterculus inoculadas com nematóides entomopatogênicos, na dose de 316 infectivos/larva
Tabela 2 - Porcentagem de encapsulamento e melanização de larvas e pupas de A. fraterculus parasitadas por S. carpocapsae e S. glaseri
Tabela 3 - Porcentagem de mortalidade de A. fraterculus inoculadas com diferentes dosagens de S. carpocapsae e S. glaseri
Tabela 4 - Porcentagem de formação de pupas de A. fraterculus, submetidas a S. carpocapsae e S. glaseri
Tabela 5 - DL ₅₀ de larvas inoculadas com seis contrações de S. carpocapsae e S. glaseri
Tabela 6 - Número médio de S. carpocapsae e S. glaseri que penetrou nas larvas de A. fraterculus em cinco dosagens
Tabela 7 - Comparação de médias do porcentual de mortalidade de A. fraterculus, inoculadas com diferentes dosagens de S. carpocapsae e S. glaseri
Tabela 8 - Comparação de médias do porcentual de mortalidade de A. fraterculus inoculadas com S. carpocapsae e S. glaseri
Tabela 9 - Porcentagem de mortalidade de larvas de A. fraterculus, inoculadas com S. carpocapsae em diferentes temperaturas e dosagens
Tabela 10 - Comparação de médias do porcentual de mortalidade de A. fraterculus, inoculadas com S. carpocapsae em diferentes dosagens

Tabela 11 - Comparação de médias de mortalidade de A. fraterculus, inoculadas com
S. carpocapsae em diferentes temperaturas
Tabela 12 - Porcentagem média do efeito de diferentes dosagens na formação de pupas
sadias e parasitadas de A. fraterculus, inoculadas com S. carpocapsae em diferentes
temperaturas45
Tabela 13 - Porcentagem média de formação de pupas de A. fraterculus, das quatro
temperaturas, expostas a S. carpocapsae em diferentes dosagens
Tabela 14 - Porcentagem de pupas e larvas de A. fraterculus sadias e parasitadas por S.
carpocapsae, aplicados em solo textura barro argilosa
Tabela 15 - Comparação de médias do porcentual de mortalidade de A. fraterculus expostas
à diferentes doses de S. carpocapsae em solo textura barro-argilosa
Tabela 16 - DL ₅₀ das larvas de A. fraterculus parasitadas por S. carpocapsae em solo47

Lista de figuras

Figura 1 - Propagação de nematóides entomopatogênicos em lagartas de Galleria
mellonella. A - Lagartas inoculadas com S. carpocapsae em placas de Petri; B - Liberação
de infectivos de S. glaseri em lagartas de G. mellonella (aumento 12X); C - Armadilha de
White
Figura 2 - Porcentagem de mortalidade de A. fraterculus submetidas a nematóides
entomopatogênicos, na dose de 316 infectivos/larva29
Figura 3 - Processo de encapsulamento em larvas de A. fraterculus parasitadas por
nematóides. A - Fêmea de S. carpocapsae encapsulada na parte anterior da pupa (aparelho
bucal), com grande formação de grânulos cristalinos (aumento 12X); B - Grânulos
cristalinos na hemolinfa de uma larva parasitada por S. carpocapsae (aumento 16X);
C- Grânulos cristalinos aderido em todo tegumento de uma larva parasitada por S. glaseri
(aumento 13X)30
Figura 4 - Processo de melanização em larvas de A. fraterculus parasitadas por S. glaseri.
A - Manchas melanóticas formadas 24 horas após a penetração do nematóide (aumento
13X); B - Manchas melanóticas formadas 48 horas após a penetração do nematóide
(aumento 12X); C - Melanização da pupa, em todo tegumento (aumento 12X)31
Figura 5 - Porcentagem de desenvolvimento de S. carpocapsae em larvas de A. fraterculus
com reações de encapsulamento, nove dias após a mortalidade33
Figura 6 - Percentual de desenvolvimento de S. glaseri em larvas de A. fraterculus com
reações de encapsulamento e melanização, nove dias após a mortalidade33
Figura 7 - Porcentagem de mortalidade de A. fraterculus inoculadas com diferentes
dosagens de S. carpocapsae e S. glaseri

Figura 8 - Porcentagem de mortalidade de larvas, e larvas (pupas) de A. fraterculu parasitadas por S. carpocapsae e S. glaseri e continuaram o processo de formação de formações de forma
pupas3
Figura 9 - Desenvolvimento de S. carpocapsae em larvas de A. fraterculus (aumento 12X)
A - Adultos de primeira geração; B - Adultos e juvenis de segunda geração, C - infectivo
de terceira geração38
Figura 10 - Liberação de nematóides infectivos (L ₃) e adultos ao meio (aumento 12X)
A - liberação de L ₃ de S. carpocapsae; B - liberação de L ₃ de S. glaseri, C - Liberação d
adultos de primeira geração de S. glaseri39
Figura 11 - Porcentagem de mortalidade de larvas de A. fraterculus, expostas a S
carpocapsae em diferentes temperaturas e dosagens
Figura 12 - Porcentagem de larvas e pupas de A. fraterculus sadias e parasitadas por S
carpocapsae em solo textura barro argilosa

Resumo

Este trabalho teve como objetivo estudar os mecanismos de defesa e o controle de larvas de *Anastrepha fraterculus* (Wied., 1830) (Diptera: Tephritidae), quando inoculadas com nematóides entomopatogênicos *Steinernema carpocapsae* "strain" All (Weiser, 1955) e *S. glaseri* "strain" Alcídia (Steiner, 1929) (Rhabditida: Steinernematidae).

Nas observações para análise dos mecanismos de defesa (encapsulamento e melanização), foram usados 316 nematóides/larva, e foi observado que as larvas de A. fraterculus são capazes de encapsular S. carpocapsae e S. glaseri. A melanização ocorreu somente em larvas parasitadas por S. glaseri, resultando em maior mortalidade desta espécie dentro das larvas devido a anóxia.

A espécie S. carpocapsae foi tão efetiva quanto S. glaseri, ocorrendo interação significativa entre as diferentes doses e espécies. Nas doses de 5 e 316 nematóides/larva, a mortalidade causada por S. carpocapsae foi de 25,33 a 85,33 %. Nas mesmas dosagens, S. glaseri proporcionou 14,67 a 86,67 % de mortalidade. A DL₅₀ para larvas expostas à S. carpocapsae foi de 32,35 nematóides/larva e para S. glaseri foi de 41,26 nematóides/larva...

S. carpocapsae produziu 10.592 infectivos (L₃) de terceira geração/larva, e S. glaseri produziu 1.056 infectivos de segunda geração/larva.

Observando o parasitismo de *S. carpocapsae* em diferentes temperaturas (15, 20, 25 e 30 °C), foi observado que a maior mortalidade de larvas de *A. fraterculus* ocorreu a 25°C (91,76%) do que em 15°C (21,62%), 20°C (82,43%) e 30°C (79,17%), na dosagem de 5 a 316 nematóides/larva. Houve diferença significativa entre as diferentes doses (p<0,05).

Em solo, quando foi usado 188, 531 e 1497 S. carpocapsae/cm² a mortalidade das larvas de A. fraterculus foi de 31,51 %, 61,64 % e 91,74 %, respectivamente. A DL₅₀ das larvas de A. fraterculus, foi de 343,57 nematóides/cm² de solo textura barro-argilosa.

SUMMARY

The objective of this research was to study the defense mechanisms and the control of the late third instars of *Anastrepha fraterculus* (Wied., 1830) (Diptera: Tephritidae), when exposed to entomogenous nematodes *Steinernema carpocapsae* All (Weiser, 1955) and *S. glaseri* Alcídia (Steiner, 1929) (Rhabditida: Steinernematidae).

To study the defense mechanisms (encapsulation and melanization) were used 316 nematodes/larvae and was found that larvae of A. fraterculus are able to encapsulate S. carpocapsae e S. glaseri. The melanization occur only in S. glaseri resulting greater mortaly of this specie inside of larvae, due to anoxia.

S. carpocapsae was as effective as S. glaseri demonstrating significant correlation between doses and species. The mortality due to S. carpocapsae with 5 and 316 nematodes/larvae was 25,33 and 85,33%. In the same dose, S. glaseri achieve 14,67 and 86,67% of mortality. The DL₅₀ value for S. carpocapsae was found to be 32,35 nematodes/larvae and DL₅₀ value for S. glaseri was 41,26 nematodes/larvae.

S. carpocapsae produced 10.592 infectives juveniles (L₃) of third generation/larvae and S. glaseri 1.056 infectives of second generation/larvae.

The greater mortality of A. fraterculus due to parasitism of S. carpocapsae at different temperatures (15, 20, 25 e 30°C) was found at 25°C (91,76%) compared with 15°C (21,62%), 20°C (82,43%) e 30°C (79,17%) with 316 nematodes/larvae.

In soil, when was applied 188, 531 and 1497 S. carpocapsae/cm², A. fraterculus mortality was found to be 31,51%, 61,64% and 91,74% respectively. The DL₅₀ for A. fraterculus larvae was 343,57 nematodes/cm² of soil with clay-loam texture.

1 - INTRODUÇÃO

A espécie Anastrepha fraterculus (Wiedemann, 1830) (Diptera: Tephritidae), conhecida como mosca das frutas sulamericana, encontra-se distribuída pela América Latina (Christenson & Foote, 1960), causando inúmeros danos à fruticultura brasileira. Causa danos diretos devido a alimentação das larvas inutilizando as frutas para o consumo, e indiretos devido a barreiras quarentenárias de outros países, que visam impedir a introdução de espécies exóticas de moscas-das-frutas em seus territórios.

A estimativa de perdas econômicas em decorrência dos danos provocados pelo ataque das moscas-das-frutas não é disponível para a maioria das culturas.

Foram estimados em 11,6% os danos de A. fraterculus em 21 pomares comerciais de maçã que tinham recebido de três a seis tratamentos com inseticidas em cobertura total (Kovaleski et al., 1984).

Orlando & Sampaio (1973), também citam que no estado de São Paulo, se não houver controle das moscas-das-frutas, ocorre a destruição total da produção de pêssego, goiaba e uvaia.

De acordo com Koller (no prelo), no estado de Santa Catarina, as perdas na produção de citros devido ao ataque das moscas-das-frutas chegam a 50%, de acordo com as regiões e com as diferentes cultivares.

Nora (1994) afirma que em algumas áreas onde não são utilizados métodos de controle, as perdas dos pomares podem ser totais.

No Brasil, até o momento, o controle dos tefritídeos se restringe ao controle químico, porém, os países importadores de frutas "in natura" estão cada vez mais exigentes quanto a qualidade do produto e especialmente quanto a ausência de resíduos de defensivos

agrícolas (Nascimento & Carvalho, 1996). Desta forma, existe a necessidade de buscar alternativas para o controle das moscas-das-frutas, visando a utilização de produtos seletivos, e também o uso do manejo integrado. O controle biológico, considerado um componente essencial e viável do manejo integrado, além de reduzir efetivamente a utilização de produtos químicos e a contaminação do meio ambiente, poderá também controlar populações infestantes, em culturas sem importância comercial, mas que contribuem para o aumento populacional de moscas que irão infestar os pomares comerciais.

Os nematóides entomopatogênicos do gênero *Steinernema* Travassos, 1927 são agentes com grande potencial para o controle biológico de vários insetos pragas. A temperatura e os mecanismos de defesa dos insetos são fatores limitantes para sua eficiência, pois o primeiro afeta a mobilidade, sobrevivência, desenvolvimento e reprodução do nematóide, e o segundo, afeta principalmente a reprodução do parasito quando este é aprisionado em cápsulas, ou a parede do hospedeiro é melanizada, ocorrendo algumas vezes a morte do invasor por anóxia.

O objetivo deste trabalho foi avaliar o controle biológico de larvas de *Anastrepha fraterculus* em fase de pré-pupa inoculadas com *Steinernema carpocapsae* (Weiser, 1955) e *S. glaseri* (Steiner, 1929) (Rhabditida: Steinernematidae).

2 - REVISÃO DE LITERATURA

2.1 - Moscas-das-frutas do gênero Anastrepha Schiner, 1868

2.1.1 - Distribuição geográfica e hospedeiros

As espécies do gênero Anastrepha Schiner, 1868 (Diptera: Tephritidae), estão restritas a condições climáticas tropicais e subtropicais, encontradas nas Ilhas do Caribe e nos estados do sul dos Estados Unidos até o norte da Argentina. O gênero apresenta 184 espécies descritas, porém a maioria é pouco conhecida quanto a sua biologia e hospedeiros. As sete espécies mais citadas, devido à sua importância econômica, são as seguintes: A. fraterculus (Wiedemann), A. grandis (Macquart), A. ludens (Loew), A. obliqua (Macquart), A. serpentina (Wiedemann), A. striata Schiner e A. suspensa (Loew) (Aluja, 1994).

De acordo com Zucchi (1988) no Brasil ocorrem 78 espécies deste gênero, sendo oito as de maior ocorrência: A. bistrigata Bezzi, A. distincta Greene, A. fraterculus, A. grandis, A. obliqua, A. pseudoparallela (Loew), A. serpentina, A. sororcula Zucchi. O gênero Anastrepha foi constatado em 55 hospedeiros (18 famílias botânicas, 29 gêneros), com 34 plantas nativas da América do Sul e 21 introduzidas da Europa, África e Ásia (Gomes, 1973; Malavasi et al., 1980).

A espécie A. fraterculus, originalmente descrita no Brasil, é conhecida como mosca das frutas sulamericana, e possui considerável importância econômica do México até a Argentina. Tem sido encontrada em pelo menos 22 hospedeiros, incluindo culturas importantes como maçã, pêssego, laranja, manga, café, caqui, e por último em frutos de quivi. Possui hospedeiros com ampla distribuição geográfica, como goiaba, pitanga e

manga, sendo encontradas praticamente em todo o território nacional. O grau de preferência entre os hospedeiros é variável. Frutos silvestres como uvaia, pitanga e guabiroba, apresentam alto índice de infestação, funcionando como repositórios naturais (Christenson & Foote, 1960; Malavasi & Morgante, 1980; Nascimento *et al.*, 1982; Bressan & Telles, 1991; Hickel & Schuck, 1993).

2.1.2 - Aspectos biológicos de A. fraterculus

Anastrepha é constituído por espécies multivoltinas (mais de uma geração anual e sem diapausa aparente), distribuindo-se em regiões tropicais e subtropicais. Caracterizam-se por sua habilidade colonizadora, são polífagas, dispersam-se amplamente, e se reproduzem com rapidez, explorando o ambiente de forma a deixar o maior número possível de descendentes (Bateman, 1972).

A. fraterculus ovipositam nos frutos. O número total de ovos colocados por fêmea varia grandemente e o período de incubação também varia de acordo com a espécie. De acordo com Lopes (1986) e Martins (1986), A. fraterculus em testes de laboratório com temperatura de 25 °C, fotofase de 12 a 14 horas e umidade relativa de 80 ± 10 %, produzem em média 312 a 394,2 ovos viáveis, os quais levam em média três dias para eclodir. A eclosão da larva ocorre no interior do fruto. Após a eclosão, a larva começa a se alimentar da polpa do fruto, passando por três ínstares. Quando completamente desenvolvidas, as larvas abandonam o fruto para empupar no solo, a cerca de 1 cm da superficie. De acordo com as variações climáticas e com as regiões geográficas, o período larval dura de 8 a 25 dias, e o período pupal de 10 a 25 dias. O ciclo do ovo a adulto varia de 21 a 50 dias. As fêmeas, após a emergência, passam por um período de pré-oviposição de 9 a 30 dias, e ovipositam em média ao longo de 80 dias. A longevidade da fêmea é de 69

a 87,8 dias, e a do macho é de 156,65 dias (Christenson & Foote, 1960; Gonzalez et al., 1971; Baliu & Malavasi, 1985; Lopes, 1986; Martins, 1986).

2.1.3 - Fatores abióticos que afetam A. fraterculus: temperatura, umidade relativa e fotoperíodo

As maiores infestações de A. fraterculus ocorrem em temperaturas entre 25 - 26°C, com 70 - 75% de umidade relativa do ar. A temperatura onde estas moscas possuem maior atividade está entre 22 a 26°C; em temperaturas abaixo de 18°C e acima de 27°C as moscas permanecem em repouso (Herrera & Viñas, 1977; Malavasi, 1984). Salles et al. (1995) avaliando a emergência deste inseto em diferentes temperaturas e umidade relativa, constatou que abaixo de 10°C e acima de 35°C não ocorre emergência, sendo 25°C a temperatura ideal, pois as moscas emergiram em menor tempo (14,5 a 15,5 dias) e em maior percentual (89,52%).

Christenson & Foote (1960) concluem que o fotoperíodo deve ser significativo para os tefritídeos, pois os adultos são inativos à noite e durante períodos de chuva. Para Martins (1986) o fotoperíodo onde A. fraterculus teve o melhor desempenho foi fotofase: escotofase 14:10. Entretanto Salles (1993), trabalhando com fotofase de seis, 10, 14, 18 e 24 horas concluiu que não houve influência significativa do fotoperíodo sobre a oviposição, fecundidade, emergência e longevidade dos insetos, sugerindo que esta espécie pode adaptar-se muito bem em regiões com fotofase longa ou curta. De acordo com Burg (1991), a maioria das espécies do gênero Anastrepha mostram maior atividade sexual em uma parte restrita do dia. A. fraterculus tem maior atividade entre sete e nove horas da manhã, em contraste com A. ludens, que é das seis às oito horas da noite (Malavasi et al., 1983).

2.1.4 - Técnicas de controle

No Brasil o controle das moscas-das-frutas se limita ao controle químico com fosforados e organofosforados ou o controle mecânico com o ensacamento dos frutos. O controle químico é recomendado através de pulverização em cobertura total da árvores para matar ovos e/ou larvas no interior dos frutos, e aplicação de iscas atrativas tóxicas, visando o controle de adultos. As pulverizações em cobertura total são realizadas através de tratamentos contínuos, que se repetem seis a oito vezes em função da região, ano e cultura. A aplicação de iscas atrativas tóxicas se repete por até 12 vezes em culturas como pêssego e maçã, e até 20 vezes em certos cultivares de citros (Carvalho, 1988).

O manejo integrado de pragas de frutíferas feito através do monitoramento com armadilhas e atraentes alimentares diminui o uso de inseticidas como também os danos da praga, devido a aplicação do inseticida no momento certo (Carvalho, 1988; Salles, 1991, 1995).

O controle biológico tem sido realizado em vários países com a utilização de Braconidae (Hymenoptera), principalmente da subfamília Opiinae devido a sua especificidade às moscas-das-frutas. Na América do Sul, estes parasitóides estão sendo utilizados apenas na Argentina. No Brasil foram assinaladas 13 espécies de parasitóides, com grande ocorrência de *Doryctobracon areolatos* (Szépligeti). Foi também introduzido da Argentina em 1994 *Diachasmimorpha longicaudata* (Ashmead), com a qual estão sendo feitos estudos de adaptação. Até o momento não existem dados conclusivos da eficácia destes parasitóides no controle de moscas-das-frutas no Brasil (Zucchi & Canal D., 1996; Nascimento & Carvalho, 1996)

2.2 - Nematóides entomopatogênicos

2.2.1 - Interação com o hospedeiro, reprodução do nematóide e associação simbiótica com a bactéria *Xenorhabdus* spp.

Os nematóides são agentes de controle biológico promissores devido ao seu alto grau de eficiência para diversos insetos pragas, principalmente para o controle daqueles que passam pelo menos uma fase de seu ciclo de vida no solo (Akhurst, 1986).

Dentro da ordem Rhabditida as duas maiores famílias de nematóides entomopatogênicos são Heterorhabditidae e Steinernematidae (Poinar, 1990 b). Os gêneros Steinernema (Travassos) e Heterorhabditis Poinar entram nos insetos através dos orificios naturais (boca, ânus e espiráculos), e penetram na hemolinfa. Os Heterorhabditis possuem dentes na parte dorsal que facilitam a sua penetração através da cutícula do inseto. Estes dois gêneros possuem uma bactéria específica do gênero Xenorhabdus, a qual, quando liberada na hemolinfa do inseto causa sua morte por septicemia em 24 horas. Xenorhabdus spp. pertencem à família Enterobacteriaceae, são anaeróbias facultativas, gram-negativas, não formam esporos ou formas de resistência. A relação entre o nematóide e a bactéria é simbiótica; assim, o nematóide não pode reproduzir-se dentro do inseto sem a bactéria, e a bactéria não pode entrar na hemolinfa para causar infecção sem o nematóide (Georgis, 1992).

As larvas infectivas, de vida livre, são formas jovens de terceiro ínstar (L₃), as quais não se alimentam devido a transformações em seu aparelho digestivo que reduz seu metabolismo. Estas larvas carregam a bactéria simbiótica na porção anterior do intestino (Kaya, 1985; Molyneux, 1985). De acordo com Poinar (1990 a), a patogenicidade de

Xenorhabdus depende da habilidade deste em se multiplicar na hemocele do hospedeiro e suprimir os mecanismos de defesa do mesmo.

As larvas infectivas procuram ativamente os hospedeiros através de produtos excretados, níveis de dióxido de carbono e gradientes de temperatura. Ao localizar o hospedeiro, penetram-no através de suas aberturas naturais, e ao chegar na hemocele, liberam a bactéria simbiótica. A bactéria se multiplica, causando septicemia e morte do inseto entre 24 a 72 horas, criando ambiente favorável para a reprodução do nematóide, e inibindo o desenvolvimento de outros microrganismos (Akhust, 1982).

Os nematóides se alimentam da "sopa bacteriana" e de tecidos do hospedeiro, e se reproduzem. Os nematóides de primeira geração de Steinernematidae se desenvolvem em machos e fêmeas dentro do inseto, e copulam para produzir a segunda geração e, algumas vezes, a terceira geração de machos e fêmeas. Os nematóides de primeira geração de Heterorhabditidae se desenvolvem em hermafroditos e, a progênie destes hermafroditos se desenvolvem em machos e fêmeas. Nas duas famílias, os nematóides podem passar por várias gerações dentro do hospedeiro, até produzir os infectivos. Quando o alimento for escasso ou, em consequência de alta densidade populacional de nematóides, os estágios infectivos, carregando a bactéria em seu intestino, abandonam o cadáver do inseto hospedeiro e migram para o solo a procura de novos hospedeiros (Popiel et al., 1989).

Entre temperaturas de 18 a 28°C, o ciclo de vida é completado em seis a 18 dias, dependendo do inseto hospedeiro e da espécie do nematóide (Georgis, 1992; Kaya & Gaugler, 1993). Woodring e Kaya (1988) utilizando uma média de 20 infectivos de S. carpocapsae/G. mellonella (8º ínstar), colocados a 23°C por cinco a sete dias, produziram 30 a 50 mil infectivos/lagarta, que começaram a ser liberados no nono dia. Pela técnica de Dutry, produziu-se até 200 mil infectivos/G. mellonella. As lagartas foram expostas a

50 infectivos/lagarta, e acondicionadas a 24°C, em aproximadamente oito a 15 dias os infectivos foram liberados (Dutry *et al.*, 1964). A produção de nematóides está ligada também ao tamanho do nematóide, ao tamanho e estágio do hospedeiro e a eficiência da bactéria simbiótica. A DL₅₀ para insetos suscetíveis é menor do que 50 células bacterianas por inseto, e maior do que 500 células para os menos suscetíveis. O número de células bacterianas carregadas por formas infectivas de *S. carpocapsae* varia entre 20 a 250 (Poinar, 1975, 1990 a, 1990 b; Akhurst & Boemari, 1990).

2.2.2 - Fatores ambientais que afetam os nematóides

O conhecimento da sobrevivência e comportamento das espécies de *Steinernema* e *Heterorhabditis* nos solos é essencial para o desenvolvimento e uso eficiente destes inseticidas biológicos.

Existem vários fatores que afetam os nematóides entomopatogênicos no solo incluindo a textura, porosidade, teor de umidade, aeração, temperatura e componentes químicos dos solos. Além destes fatores, organismos nematófagos do solo devem também destruir um número significativo de nematóides, restringindo o seu uso no controle biológico (Kaya, 1990).

Solos: O tipo de solo tem grande influência na sobrevivência e dispersão dos nematóides. A textura do solo afeta a habilidade de infectar o hospedeiro, como também a sua habilidade de dispersão vertical e horizontal. Kung e Gaugler (1990), testando a sobrevivência e a patogenicidade de S. carpocapsae e S. glaseri, durante 16 semanas, em quatro solos com textura diferente (arenoso, barro-arenoso, barro-argiloso e argiloso), observaram que ocorreram diferenças significativas entre os nematóides em todos os tipos

de solos. S. carpocapsae sobreviveu melhor em solo barro-arenoso (44,9%) e S. glaseri em solo arenoso (30,1%). A sobrevivência de S. glaseri foi menor do que S. carpocapsae em todos os tipos de solos. A patogenicidade dos nematóides também se manteve por mais tempo em solos arenoso e barro-arenoso. Em arenoso a patogenicidade se manteve semelhante para as duas espécies, sendo que durante 10 semanas 50% dos nematóides mantiveram a sua patogenicidade.

Aeração: As interações do tipo de solo, umidade e aeração afetam os movimentos dos nematóides e o seu consumo de energia. Solos com textura barro-argilosa e argilosa possuem poros pequenos e alto potencial para reter umidade (18 a 28%), resultando em pouca aeração. Os nematóides expostos a aeração ineficiente não utilizam suas reservas de carboidratos de maneira eficaz. Os solos arenosos e barro-arenosos tem maior aeração, pois possuem poros maiores, e baixo potencial de retenção de umidade (10-12%), desta forma os nematóides podem usar suas reservas com eficiência, resultando em maior sobrevivência nesses tipos de solos (Wallace, 1971 e Crole & Matthews, 1977 in aprid Kung & Gaugler, 1990).

Umidade: A umidade relativa do solo é também um fator importante para a sobrevivência dos nematóides. Simons & Poinar (1973), observaram que *S. carpocapsae* tem boa sobrevivência em solos secos, pois, quando expostos durante 12 dias a umidade relativa de 79,5% e temperatura de 20°C, ocorreu sobrevivência de 90%. Em umidade relativa de 48,4% durante quatro dias, correspondendo a umidade de solo muito seco, ocorreu sobrevivência de 80%. Kung *et al.* (1991), observaram que esteinernematídeos tornam-se inativos e sobrevivem melhor em solos com umidade entre 2 a 4%, sugerindo que

eles podem entrar em estado de anidrobiose. Quando o solo foi reidratado para 16% de umidade, os nematóides continuaram patogênicos.

Temperatura: A temperatura é um importante fator a ser considerado, pois pode afetar a mobilidade, sobrevivência, desenvolvimento e a reprodução dos nematóides entomopatogênicos. As temperaturas baixas ou altas podem afetar a patogenicidade dos steinernematídeos e heterorabditídeos, influenciando na atividade do nematóide, ou da bactéria simbiótica, ou de ambos (Kaya, 1990).

Para Steinernematidae, existem diferentes respostas às temperaturas entre várias espécies, entre isolados da mesma espécie de regiões geográficas distintas, e entre isolados da mesma região geográfica (Molyneux, 1986). As diferenças no comportamento às diferentes temperaturas podem estar relacionadas ao clima da localidade em que o nematóide foi originalmente isolado. Entretanto, as espécies ou isolados ("strain") coletados na mesma latitude podem não apresentar o mesmo comportamento (Fan, 1989).

A sobrevivência e a patogenicidade de *S. carpocapsae* são significativamente maiores em temperaturas entre 5 e 25°C do que em 35°C, ao contrário de *S. glaseri*, onde a sobrevivência e a patogenicidade são maiores em temperaturas entre 15 e 35°C, do que em baixas temperaturas (5°C) (Kung *et al.*, 1991).

Kaya (1977), observando o desenvolvimento de *Neoaplectana carpocapsae* (= S. carpocapsae) "in vivo" e "in vitro" em diferentes temperaturas, constatou que não ocorreu desenvolvimento nas temperaturas de 10 e acima de 33°C. Em 15, 20 e 25°C ocorreu o desenvolvimento, sendo 25°C a melhor temperatura. A 30°C os nematóides tornaram-se adultos, porém não se reproduziram. Nas culturas "in vivo", ocorreu liberação de infectivos apenas em temperaturas de 20 e 25°C.

Schmitt (1993) concluiu que *S. carpocapsae* "strains" BM e FC, coletados no Brasil, tem um intervalo de temperatura ótimo para infecção, desenvolvimento e reprodução. *S. carpocapsae* BM é favorecido em temperaturas entre 20 e 30°C, enquanto *S. carpocapsae* FC prefere temperaturas entre 20 e 25°C.

Lagartas de Galleria mellonella expostas a diferentes dosagens de Heterorhabditis heliothidis. Poinar e S. glaseri em diferentes temperaturas apresentaram interação significativa entre as temperaturas e os níveis das dosagens. A 5 e 10°C não emergiram os infectivos, sendo 25°C a temperatura em que os nematóides desenvolveram-se mais rápido. A 30°C e na dose de 500 nematóides/lagarta, não ocorreu liberação de infectivos de H. heliothidis. A produção de nematóides/inseto foi melhor a 20 e 25°C nas dosagens de 5 a 50 nematóides/inseto (Zervos et al., 1990).

pH: Kung et al. (1990) mostrou que o pH do solo parece ter pequeno efeito na sobrevivência e patogenicidade de duas espécies de Steinernematidae (S. carpocapsae e S. glaseri). Eles observaram que por 16 semanas os nematóides sobreviveram melhor em pH oito, seguido pelo pH seis e quatro (porém, não ocorreu diferença significativa entre eles). S. glaseri sobreviveu melhor do que S. carpocapsae em pH oito. Já em pH 10, após uma semana ocorreu alta mortalidade para as duas espécies, porém, a sobrevivência de S. carpocapsae foi significativamente maior do que S. glaseri. Quanto a patogenicidade, S. carpocapsae diferiu significativamente de S. glaseri nos quatro níveis de pH. Duas semanas após, S. carpocapsae foi menos patogênico que o S. glaseri em pH quatro e seis. Em pH oito a patogenicidade de S. carpocapsae caiu drasticamente depois de quatro e oito semanas, sendo menos patogênico do que S. glaseri durante todo o experimento. Nenhuma espécie foi patogênica em pH 10, quando testados em lagartas de G. mellonella.

Inimigos naturais: Os fatores bióticos devem ser considerados na avaliação da persistência de nematóides no campo. Parasitas e predadores nematófagos tendem a diminuir a eficiência de nematóides entomopatogênicos nos solos, reduzindo sua sobrevivência. Fungos, ácaros, colêmbolas e nematóides predadores provavelmente têm impacto negativo na população de nematóides entomopatogênicos. Em estimativas de DL₅₀ com o uso de nematóides entomopatogênicos, houve diferença significativa na mortalidade de insetos quando havia presença de ácaros nematófagos (Epsky *et al.*, 1988).

Fungos nematófagos também são citados, sendo que as espécies *Macrosporium* ellipsosporum e Arthrobotrys oligospora capturam, causam infecção e digestão do nematóide num período de 72 horas (Poinar & Jansson, 1986 a). Na presença do fungo Hirsutella rhossiliensis o nematóide entomopatogênico Heterorhabditis bacteriophora foi mais eficiente do que Steinernematidae (Timper & Kaya, 1992). Em testes laboratoriais, o fungo *Drechmeria coniospora* ocasionalmente captura infectivos juvenis, porém não consegue penetrá-los, parasitando apenas adultos e estágios pré-infectivos (Poinar & Jansson, 1986 b).

Lagartas de G. mellonella parasitadas por S. glaseri infectados por protozoários microsporídeos produziram pouco infectivos (1000 por lagarta), com muitos nematóides hialinos, menores do que o normal e outros deformados (Poinar, 1988).

2.2.3 - Mecanismos de defesa dos insetos: Tipos e modo de ação

O encapsulamento e a melanização são mecanismos de defesa dos insetos, que ocorrem quando estes são invadidos por nematóides entomopatogênicos Parasitos metazoários e grandes partículas inertes são envolvidos em cápsulas. Pequenas doses de bactérias, vírus ou protozoários são fagocitados, e altas doses normalmente são agregadas

em nódulos. O encapsulamento ocorre normalmente em parasitos não específicos. Nos específicos ela pode ou não ocorrer (Poinar et al., 1968, Woodring, 1985).

No encapsulamento ocorre agregação e desintegração de células (geralmente hemócitos) do hospedeiro ao redor do parasito, resultando na deposição de melanina e formação da cápsula (Poinar et al., 1968).

Alguns insetos parasitóides ou parasitas, como certos himenópteros livram-se do encapsulamento com fortes movimentos, dípteros da família Tachinidae conectam um funil no sistema traqueal do inseto para respiração. A maioria dos Hymenoptera parasitas específicos, podem inibir as reações de defesa do hospedeiro ou produzir substâncias químicas atrativas dos hemócitos (Salt, 1970 e Nappi, 1974 *In aprid* Chapman, 1982; Chapman, 1982).

Em insetos onde existe pouca circulação de hemócitos, o encapsulamento deve ocorrer sem a direta participação destas células; neste caso, a deposição de melanina e da matriz capsular são de natureza não celular, precipitando-se sobre a superfície externa do nematóide (Poinar & Leutenegger, 1971). O encapsulamento humoral (não celular) envolve apenas proteínas do plasma, ocorrendo somente em Diptera com baixa contagem total de hemócitos (THC), quando parasitados por fungos ou nematóides patogênicos (Woodring, 1985).

Götz & Vey (1974) sugerem que as cápsulas formadas são resultantes da ativação das fenoloxidases da hemolinfa. A composição final da cápsula é um complexo de proteína-polifenol, que isola fisicamente o patógeno (Christensen *et al.*, 1984, 1989).

Existe um grande número de trabalhos sobre encapsulamento e melanização de nematóides por larvas de dípteros, principalmente Culicidae. Welch & Bronskill (1962) citam que muitos, senão todos os Culicidae, são capazes de encapsular *S. carpocapsae*. O

encapsulamento que ocorre em larvas de *Aedes aegypti* (L.) deve ser semelhante ao que ocorre em *Musca domestica* L. e *Orthellia caesarion* (Muscidae) (Nappi & Stoffolano, 1971, 1972a, 1972b; Andreadis & Hall, 1976).

Ghally et al. (1988) trabalhando com larvas de Ceratitis capitata (Wiedemann) (Tephritidae) parasitadas por S. carpocapsae, observaram que de 4 a 18 horas após a infecção ocorreu um aumento no total de proteínas e um decréscimo nos lipídios da hemolinfa, quando comparados com insetos não infectados. O aumento de proteínas deveria ser atribuído como reação de defesa contra o parasitismo.

A encapsulação normalmente ocorre dentro de 24 horas após a penetração do parasita, podendo este morrer quando a parede é melanizada (Woodring, 1985).

2.2.4 - Hospedeiros

Em testes de laboratório mais de 250 espécies de insetos foram suscetíveis aos nematóides entomopatôgenicos (Poinar, 1975; Morris, 1985), porém, em campo são poucos os trabalhos que relatam o controle com nematóides (Georgis, 1992). Akhurst (1986) afirma que mais de 90% dos insetos que passam uma fase de seu ciclo de vida no solo (larva e/ou pupa), podem ser considerados ótimos candidatos para o controle com nematóides.

Na América Latina e Caribe são citadas 97 espécies de insetos pertencentes a 11 ordens (Coleoptera, Diptera, Lepidoptera, Hymenoptera, Odonata, Dictyoptera, Isoptera, Orthoptera, Heteroptera, Homoptera e Neuroptera), suscetíveis a linhagens nativas de S. carpocapsae (Wassink & Poinar, 1984). A espécie S. carpocapsae, "strains" Mexicano e Argentino, e outras espécies nativas do gênero Steinernema e Heterorhabditis são aplicados

em solos ou em casas de vegetação para o controle de insetos na Argentina, México, Brasil, Uruguai e Cuba (Georgis & Hom, 1992).

No Brasil até o momento os trabalhos tem se restringido a constatações de ocorrência, produção "in vivo", e experimentos de campo utilizando inóculo produzido comercialmente nos Estados Unidos (Schmitt, 1993; Aguillera, 1996).

2.2.5 - Controle de moscas-das-frutas com nematóides

A primeira ocorrência de nematóides parasitando mosca-das-frutas foi descrita por Poinar et al. (1977), quando investigava ocorrências naturais de patógenos em adultos, pupas e larvas de *Rhagoletis pomonella* (Walsh). Neste levantamento foram encontrado larvas e pupas parasitadas por fungos e bactérias, e também duas pupas parasitadas por nematóides entomopatogênicos do gênero *Neoaplectana* sp. (= *Steinernema*).

Poinar & Hislop (1981), observaram em laboratório que adultos de *Ceratitis* capitata quando inoculados em placas de Petri com *S. carpocapsae* causou 75% de mortalidade e com *Heterorhabditis heliothidis* causou 85 % de mortalidade 72 horas após a inoculação.

Beavers & Calkins (1984), trabalhando em laboratório com *Anastrepha suspensa*, parasitada por nematóides entomopatogênicos, observaram uma mortalidade de 58,1 a 93,4% em larvas de quatro a cinco dias de idade; em pupas com oito a dez dias foi constatado 0,4 a 1,1%, e em adultos de dois a cinco dias 58,1 a 93,4%, dependendo da espécie e "strain" do nematóide utilizado.

A aplicação de diferentes doses de nematóides para o controle de larvas no final do terceiro instar de *C. capitata*, *Dacus dorsalis* (Hendel) e *D. cucurbitae* (Coquillett) resultaram na mortalidade de 9 e 92% para *C. capitata*, 9 e 85% para *.D. dorsalis* e 0 e

86% para *D. cucurbitae*, respectivamente para a menor e maior dose (50 e 5000 nematóides/larva) (Lindegren & Vail, 1986).

Ghally (1988) utilizando imagos de *C. capitata* expostos a 50, 100 e 1.000 nematóides de *S. feltiae* por inseto, obteve após 24 horas uma mortalidade de 61,9%, 45,6% e 100%, respectivamente e após 48 horas, a mortalidade subiu para 100% nas três dosagens utilizadas. De acordo com Lindegren *et al.* (1990) larvas de *C. capitata* em condições de campo mostraram mortalidade significativa, quando expostas a *S. feltiae*, estimando-se a CL₅₀ de 38 nematóides/cm² de solo.

3 - OBJETIVOS

Os experimentos foram conduzidos em laboratório, com os seguintes objetivos:

- Avaliar os mecanismos de defesa de larvas de A. fraterculus contra o parasitismo de S. carpocapsae e S. glaseri, analisando a formação de cápsulas e melanização em larvas parasitadas.
- Determinar a mortalidade de larvas de A. fraterculus expostas a S. carpocapsae e S. glaseri, e o desenvolvimento dos nematóides no interior das larvas, em diferentes dosagens.
- Determinar a eficiência de S. carpocapsae no controle de larvas de A. fraterculus em diferentes temperaturas.
- Avaliar o controle de A. fraterculus com a aplicação de S. carpocapsae em solo de textura barro-argilosa.

4 - MATERIAL E MÉTODOS

4.1 - Local de desenvolvimento dos experimentos

Os experimentos foram desenvolvidos na Empresa de Pesquisa Agropecuária e Difusão de Tecnologia de Santa Catarina S. A. (EPAGRI/EEI), de Itajaí - SC, e Setor de Ciências Biológicas, Departamento de Zoologia da Universidade Federal do Paraná (UFPR) em Curitiba - PR.

4.2 - Criação de Anastrepha fraterculus em laboratório

A criação de A. fraterculus foi iniciada com pupas enviadas pelo Dr. Luis A. B. Salles da Empresa Brasileira de Pesquisa Agropecuária (EMBRAPA) em Pelotas - RS.

Para a criação de A. fraterculus, foi utilizado o método de oviposição natural. Neste método, é difícil obter o número exato de ovos ou larvas por fruto. Entretanto, é o método ideal para pequenas escalas de criação.

Para criação dos adultos foram utilizadas gaiolas com armação de alumínio, com dimensões de 46 x 46 x 92 cm. Duas laterais da gaiola foram revestidas com plástico transparente, e as outras duas laterais e a parte superior com tecido filó. Uma das laterais com tecido filó, continha duas mangas para manipulação dos insetos. As gaiolas foram mantidas em condições de laboratório com temperatura de 25 [±] 5 °C, fotofase 12 horas e UR 75 [±] 10%.

As moscas foram alimentadas com uma pasta contendo 20% de hidrolisado de levedura e 80% de açúcar mascavo, onde foi acrescentada água destilada até formar uma pasta. A dieta líquida foi composta de solução de mel a 10% em água destilada (Raga, 1990; Salles, 1992). A dieta sólida era passada em vários pontos das laterais de plásticos,

em camadas de 1 a 2 mm de espessura. A dieta líquida foi colocada sobre algodão dentro de placas de Petri de 9 cm de diâmetro. As placas de Petri contendo o algodão embebido na dieta líquida, foram colocadas na parte superior das gaiolas (pelo lado de fora e invertidas) e dentro da gaiola, na parte inferior. A dieta líquida foi trocada a cada 2-3 dias, e a sólida uma vez por semana, quando geralmente as moscas já haviam consumido quase toda esta dieta.

Em cada gaiola foram colocadas aproximadamente 3000 mil pupas em caixas gerbox com areia úmida esterilizada, com uma média final de sobrevivência de 900 casais. Após 10 a 15 dias da emergência dos adultos (período de pré-oviposição), foram colocados 5 a 6 frutos de mamão papaia por gaiola para a postura, ficando estes expostos durante 4 horas (8:00-12:00h.) segundo a metodologia de Faria & Suplicy Filho, 1989. Após este período os frutos eram retirados das gaiolas e colocados dentro de escorredor de macarrão de plástico com uma caixa gerbox em baixo para captação do líquido dos mamões, e desta maneira acondicionados em estufas com temperatura de 25 [±] 1°C, fotofase 12 horas e UR 75 [±] 10%. No nono dia após a postura, os frutos que já tinham perdido quase todo o líquido foram embrulhados em jornal esterilizado, e colocados em bandejas de plástico, sobre areia esterilizada. Onze a 12 dias após a postura, as larvas estavam em fase de pré-pupa e deixavam os mamões, quando então eram utilizadas para a condução dos experimentos. De cada mamão foram retirados em média 200-300 larvas de coloração amarelo gema-de-ovo. Os mamões não usados nos experimentos eram colocados sobre areia úmida esterilizada, onde as larvas enterravam-se para empupar, dando continuidade a criação dos insetos.

Os adultos com aproximadamente 75 dias de idade eram descartados, pois segundo Lopes (1986), o período mais produtivo da fêmea está compreendido entre a 3ª até a 12ª semana de vida.

4.3 - Criação de Galleria mellonella em laboratório

Para haver um contínuo estoque de nematóides entomopatogênicos, foi necessário propagá-los em lagartas de G. mellonella (L.) (Lepidoptera: Pyralidae). Exemplares desta espécie são frequentemente usados em vários países como hospedeiros de nematóides, pois são facilmente encontradas, fáceis de serem criadas, são muito suscetíveis e são excelentes hospedeiros para a reprodução dos nematóides.

A criação de G. mellonella foi iniciada com favos contaminados por esta espécie, cedidos pelo Prof. Ademar Pegoraro do Departamento de Zootecnia da Universidade Federal do Paraná (UFPR) em Curitiba, PR.

As pupas foram mantidas em vidros de 20 cm de altura e 15 cm de diâmetro tampados com tecido filó. A tampa de filó possuía aberturas onde foram colocadas folhas de papel, tipo cartolina, de cor preta dobradas em gaita para a postura. Em cada vidro foram colocadas 50 pupas de *G. mellonella*. Após 10 dias emergiam as mariposas. Os adultos foram descartados com 30 dias de idade.

Os ovos foram retirados a cada 2 a 3 dias sendo colocados sobre favos de abelha (previamente desinfetados a 48°C por 80 minutos) e conservados em geladeira até o uso. Para a criação massal de *G. mellonella*, os favos contendo os ovos foram retirados da geladeira e colocados dentro de marmitas de alumínio de 7 cm de altura e 16,5 cm de diâmetro, com perfurações na parte central da tampa para ventilação. As marmitas foram colocadas em estufas em temperatura de 25 ± 5°C. Após 8 a 10 dias eclodiam as lagartas que foram alimentadas com dieta natural durante todo o seu desenvolvimento. Em torno de 30 a 50 dias as lagartas atingiam o último ínstar (8°). De acordo com a necessidade de lagartas para produção de nematóides foram utilizadas temperaturas mais altas ou mais baixas para acelerar ou diminuir o crescimento e desenvolvimento das lagartas.

As lagartas de 7º e 8º ínstar que não teriam uso imediato passavam por um tratamento para não empuparem. Eram colocadas em água a 56°C por 15 segundos e em seguida em água fria por mais 30 segundos. Na sequência, as lagartas foram colocadas sobre papel toalha para secarem, e posteriormente armazenadas a 15°C por até 15 dias (Woodring & Kaya, 1988).

4.4 - Produção "in vivo" de Steinernema carpocapsae e S. glaseri em lagartas de G. mellonella. Coleta, estoque e preparo das dosagens de nematóides

Os nematóides S. carpocapsae (Biosys, Inc., Palo Alto, Califórnia) foram cedidos pela Dra. Áurea T. Schmitt da EPAGRI/EEI (Itajaí - SC) e Dra. Marineide M. Aguillera da Universidade Federal de São Carlos (Araras - SP) e S. glaseri pela última pesquisadora.

Para produção dos nematóides foram utilizadas lagartas de G. mellonella que estavam nos dois últimos ínstares (7º e 8º), usando-se material esterilizado em todas as etapas. As lagartas geralmente tinham passado pelo tratamento para não empuparem, citado no item 4.3. Para a espécie S. glaseri, normalmente usava-se lagartas não tratadas, pois estas produziam melhor.

As suspensões dos nematóides *S. glaseri* e *S. carpocapsae* foram preparadas através de contagens do número de nematóides por mililitro (ml). Para estimar este número, homogeneizava-se a suspensão armazenada, retirando-se em seguida 1 ml, diluindo-o em água destilada para facilitar a contagem. Retirava-se então 1 ml desta nova suspensão que era passada para placa de Petri de 5 cm de diâmetro, dividida em quadrados de 2 mm de lado, fazendo-se as contagens com o auxílio de um microscópio estereoscópio. Repetia-se este procedimento por três a cinco vezes, sendo considerado o valor médio destas contagens como a referência para o número de nematóides/ml de suspensão.

Em tampas de placas de Petri de 9 cm de diâmetro foi colocado um disco de papel filtro por placa, e sobre este 1 ml de suspensão de nematóides, na dosagem de 400 a 600 nematóides por placa ou 40 a 60 nematóides por lagarta. Em seguida foram colocadas 10 lagartas por placa (Figura 1A). As placas foram fechadas com filme plástico e colocadas em estufa a 25°C, UR 75 ± 10%, sem fotofase. Sete a nove dias após, as lagartas foram transferidas para armadilha de White, que consistia de uma placa de Petri de 15 cm de diâmetro com aproximadamente 15 ml de água destilada, contendo um vidro relógio de 9 cm de diâmetro com a parte côncava para cima. Sobre o vidro relógio foi colocado um disco de papel filtro, onde eram foram depositadas 20 a 30 lagartas para liberação dos infectivos (Figuras 1B e 1C) (White, 1927).

Os nematóides infectivos foram coletados diariamente por 6 a 7 dias, passados em peneira de 20 micrômetros de abertura de malha, onde ficavam retidos os nematóides e restos de lagarta. Em seguida eram lavados com água destilada e colocados sobre uma máscara (de tecido poroso, para uso sobre o nariz e boca, destinada a reter poeiras e partículas sólidas, da marca 3M), com o objetivo de reter os nematóides mortos, adultos e também restos de lagartas que contaminavam a suspensão. A máscara era colocada dentro de pote plástico de 250 gramas contendo água destilada. Os infectivos filtrados através da máscara, foram coletados e colocados novamente na peneira, onde foram lavados. Após este processo, os infectivos foram colocados em potes de plástico com 4,5 cm de altura e 14 cm de diâmetro, contendo 30 ml de suspensão de infectivos em água destilada. A população máxima para armazenar foi de 3000 a 5000 nematóides/ml para *S. carpocapsae* e 500 a 3000/ml para *S. glaseri*.

Os potes foram armazenados em estufas com 9 [±] 1 °C, onde permaneciam por um período de no máximo 30 dias, sendo agitados diariamente por um minuto para oxigenação da suspensão (Woodring & Kaya, 1988; Williams, 1991; Schmitt, 1993).

Para preparar as dosagens usadas nos experimentos utilizava-se os nematóides armazenados, fazendo-se as contagens e diluições necessárias para se chegar ao número de nematóides desejado em cada tratamento.

4.5 - Mecanismos de defesa de A. fraterculus contra o parasitismo de S. carpocapsae All e S. glaseri Alcídia

O experimento foi desenvolvido para observar os mecanismos de defesa de A. fraterculus quando expostas a S. carpocapsae e S. glaseri, nas dosagens de 0 e 316 nematóides/larva. Para cada espécie de nematóide e para cada dosagem testada foram utilizadas 14 repetições contendo 15 larvas em fase de pré-pupa de A. fraterculus por repetição.

Em placas de Petri contendo papel filtro, foi pipetado 1,0 ml da solução de nematóide, diluída em água destilada. Logo após foram colocadas em cada placa 15 larvas de *A. fraterculus*. Para a testemunha, foi pipetado 1,0 ml da água destilada. Após a inoculação dos nematóides e colocação das larvas, as placas foram fechadas com filme plástico e mantidas em incubadora a 25 °C, sem fotofase. A mortalidade das larvas foi avaliada a 24, 48 e 72 horas após a inoculação dos nematóides. As larvas e pupas que não foram parasitadas até 72 horas após a inoculação foram eliminadas.

Os processos de encapsulamento e melanização das larvas parasitadas por S. carpocapsae foram avaliados nove dias após a inoculação, e as larvas parasitadas por S. glaseri foram analisadas sete dias após. Cinco larvas e duas pupas de cada repetição foram dissecadas e observadas em microscópio estereoscópio, para determinação do percentual de encapsulamento e melanização. Foi observado um total de 70 larvas e 28 pupas parasitadas por S. carpocapsae, e 70 larvas e 28 pupas parasitadas por S. glaseri. O experimento foi repetido uma vez.

4.6 - Controle de A. fraterculus inoculadas com diferentes dosagens de S. carpocapsae e S. glaseri

O experimento foi conduzido para observar a mortalidade, número de nematóides que penetrou nos insetos e o desenvolvimento dos nematóides no interior das larvas em diferentes dosagens.

Foram utilizados infectivos de *S. carpocapsae* e *S. glaseri*, com seis dosagens: 0 (testemunha), 5, 15, 40, 112 e 316 nematóides/larva. Para cada espécie de nematóide testada, e para cada dose foram usadas 5 repetições contendo 15 larvas de *A. fraterculus* por repetição. As placas foram mantidas à temperatura de 25°C, sem fotofase. A mortalidade foi avaliada 72 horas após a inoculação das larvas. As larvas e pupas que não foram parasitadas até 72 horas após a inoculação foram eliminadas.

O número de nematóides que penetrou nas larvas foi avaliado 48 horas. após a mortalidade das larvas, sendo dissecadas duas larvas de cada repetição (10 larvas/tratamento) e analisadas em microscópio estereoscópio, perfazendo um total de 50 larvas inoculadas com *S. carpocapsae* e 50 larvas inoculadas com *S. glaseri*.

O desenvolvimento de *S. carpocapsae* no interior das larvas foi avaliado 216 horas após a mortalidade dos insetos, e o desenvolvimento de *S. glaseri* foi avaliado 120 horas após a mortalidade do inseto. Três larvas de cada repetição foram dissecadas e analisadas em microscópio estereoscópio, num total de 15 larvas por tratamento. Foram analisadas 75 larvas inoculadas com *S. carpocapsae* e 75 larvas inoculadas com *S. glaseri*. O experimento foi repetido uma vez.

4.7 - Controle de A. fraterculus com S. carpocapsae em diferentes temperaturas

Com o objetivo de avaliar a influência da temperatura no controle de A. fraterculus com a aplicação de S. carpocapsae o experimento foi realizado utilizando-se seis dosagens: 0, 5, 15, 40, 112 e 316 nematóides/larva em quatro diferentes temperaturas: 15, 20, 25 e 30°C.

Para cada dose foram usadas cinco repetições com 15 larvas de *A. fraterculus* por repetição. A mortalidade foi avaliada 72 horas após a exposição das larvas aos nematóides. As pupas encontradas em todos os tratamentos foram lavadas e colocadas em placas de Petri limpas e acondicionadas a 25°C. Após 48 horas foi confirmada a mortalidade. O referido procedimento foi necessário uma vez que os tratamentos que estavam nas temperaturas de 15 e 20°C necessitavam de mais tempo para desenvolver os sintomas característicos (pupas com cor marrom-claro homogêneo). O experimento foi repetido uma vez.

4.8 - Controle de A. fraterculus com aplicação de S. carpocapsae em solo textura barro-argilosa

Para avaliar o controle de A. fraterculus com a aplicação de S. carpocapsae em solo, foram utilizadas quatro dosagens: 0, 890, 2510 e 7074 nematóides/larva ou 188, 531 e 1497 nematóides/cm² de solo. Para cada dose foram usadas 5 repetições com 15 larvas de A. fraterculus por repetição.

Para este experimento foram utilizados potes plástico de 250 g, com 10 cm. de diâmetro e 6 cm de altura, contendo 70 g de solo esterilizado, com textura barro-argilosa e pH 4,8 (Apêndices 1 e 2). Sobre o solo foi gotejado 19 ml de água destilada. Após 24 horas foram aplicados 5 ml. de suspensão de nematóides em cada pote, ficando por mais 24 horas para ocorrer a dispersão dos nematóides no solo. Logo após foram colocadas em cada pote 15 larvas. Os potes foram tampados e incubados a 25°C, sem fotofase. A mortalidade foi avaliada 144 horas após a exposição das larvas aos nematóides. O experimento foi repetido uma vez.

4.9 - Análise estatística

Os experimentos foram analisados com o auxílio do programa SANEST e STATISTICA, e as DL₅₀ através da análise de Próbit do programa POLO-PC. A mortalidade foi corrigida pela fórmula de Abbott.

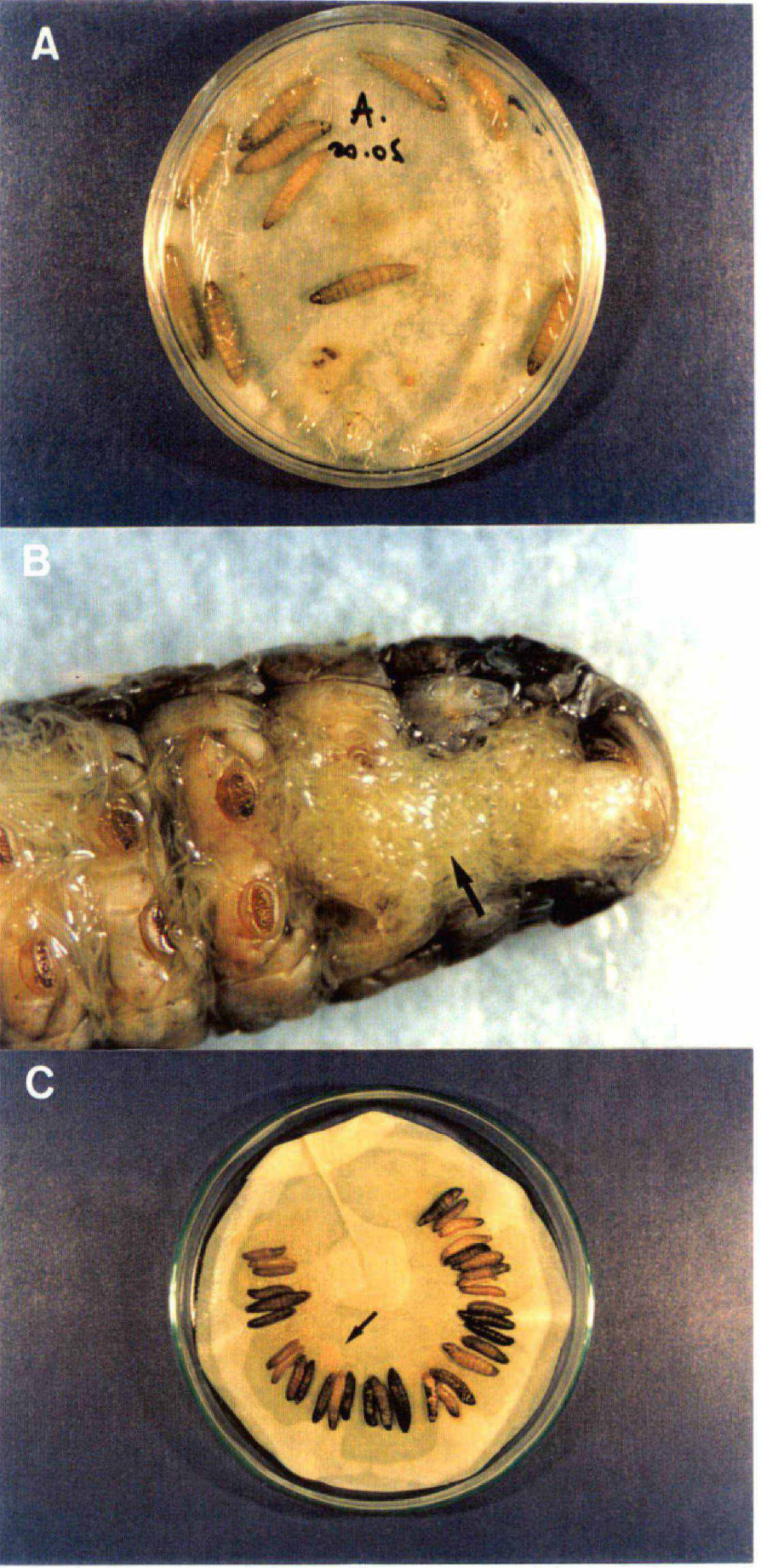


Figura 1 - Propagação de nematóides entomopatogênicos em lagartas de G. mellonella. A - Lagartas inoculadas com S. carpocapsae em placas de Petri; B - Liberação de infectivos de S. glaseri em lagartas de G. mellonella (aumento 12X); C - Armadilha de White.

5-RESULTADOS

5.1 - Mecanismos de defesa de A. fraterculus contra o parasitismo de S. carpocapsae e S. glaseri

Mortalidade

Os resultados mostram que 90% da mortalidade das larvas parasitadas por S. carpocapsae foi alcançada 48 horas após a inoculação dos nematóides. Em contraste, as larvas parasitadas por S. glaseri apresentaram 85% de mortalidade após 72 horas. A ocorrência de larvas não parasitadas, podem estar relacionadas a rápida formação de pupas antes da penetração dos nematóides (Tabela 1 e Figura 2). Em contagem de laboratório, foi observado que em larvas parasitadas por S. carpocapsae penetraram uma média de 77,28 nematóides/larva, e nas parasitadas por S. glaseri foi observado uma média de 54,87 nematóides/larva (Tabela 6).

Quanto ao aspecto exterior, foi observado que as larvas e pupas de A. fraterculus, parasitadas por S. carpocapsae, apresentaram uma coloração marrom-claro homogênea, e as parasitadas por S. glaseri apresentaram coloração marrom-escuro, com manchas melanóticas por todo o tegumento do inseto.

Tabela 1 - Porcentagem de mortalidade de A. fraterculus inoculadas com nematóides

entomopatogênicos, na dose de 316 infectivos/larva

Tempo (h.) Tratamentos	24	48	72	Mc (*)
Testemunha	0	0	0,95	_
S. carpocapsae	18,67	90,00	90,00	89,90
S. glaseri	2,67	73,33	85,00	84,85

^(*) Mortalidade corrigida pela fórmula de Abbott.

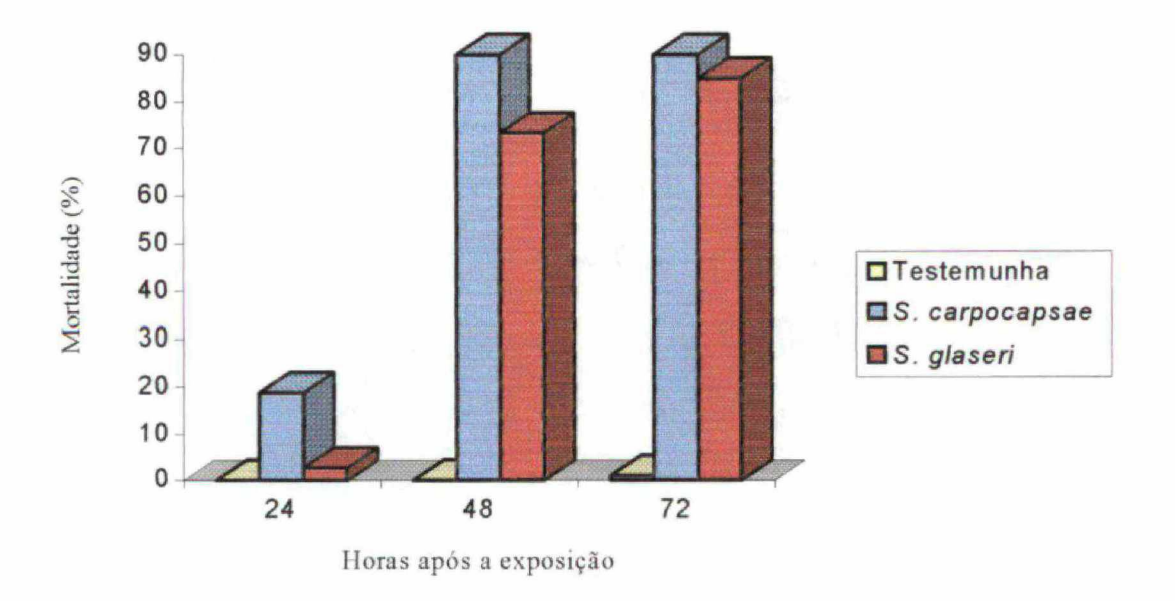


Figura 2 - Porcentagem de mortalidade de *A. fraterculus* submetidas a nematóides entomopatogênicos, na dose de 316 infectivos/larva

Encapsulamento e melanização

Nas avaliações de encapsulamento e melanização de *A. fraterculus*, foi observado que a formação de grânulos de aspecto cristalino no interior das larvas parasitadas por *S. carpocapsae* (nove dias após a mortalidade das larvas) foi de 100 % e nas larvas parasitadas por *S. glaseri* (sete dias após a mortalidade das larvas) foi de 92,85 %. A ocorrência de encapsulamento em pupas foi de 89,28% para *S. carpocapsae* e 85,71 % para *S. glaseri* (Tabela 2, Figura 2). A ocorrência de melanização não foi observado em larvas e pupas parasitadas por *S. carpocapsae* ao contrário de *S. glaseri* que apresentou 100% de melanização em larvas e pupas de *A. fraterculus* (Tabela 2). As reações de encapsulamento e melanização em larvas de *A. fraterculus* são mostradas nas Figuras três e quatro.

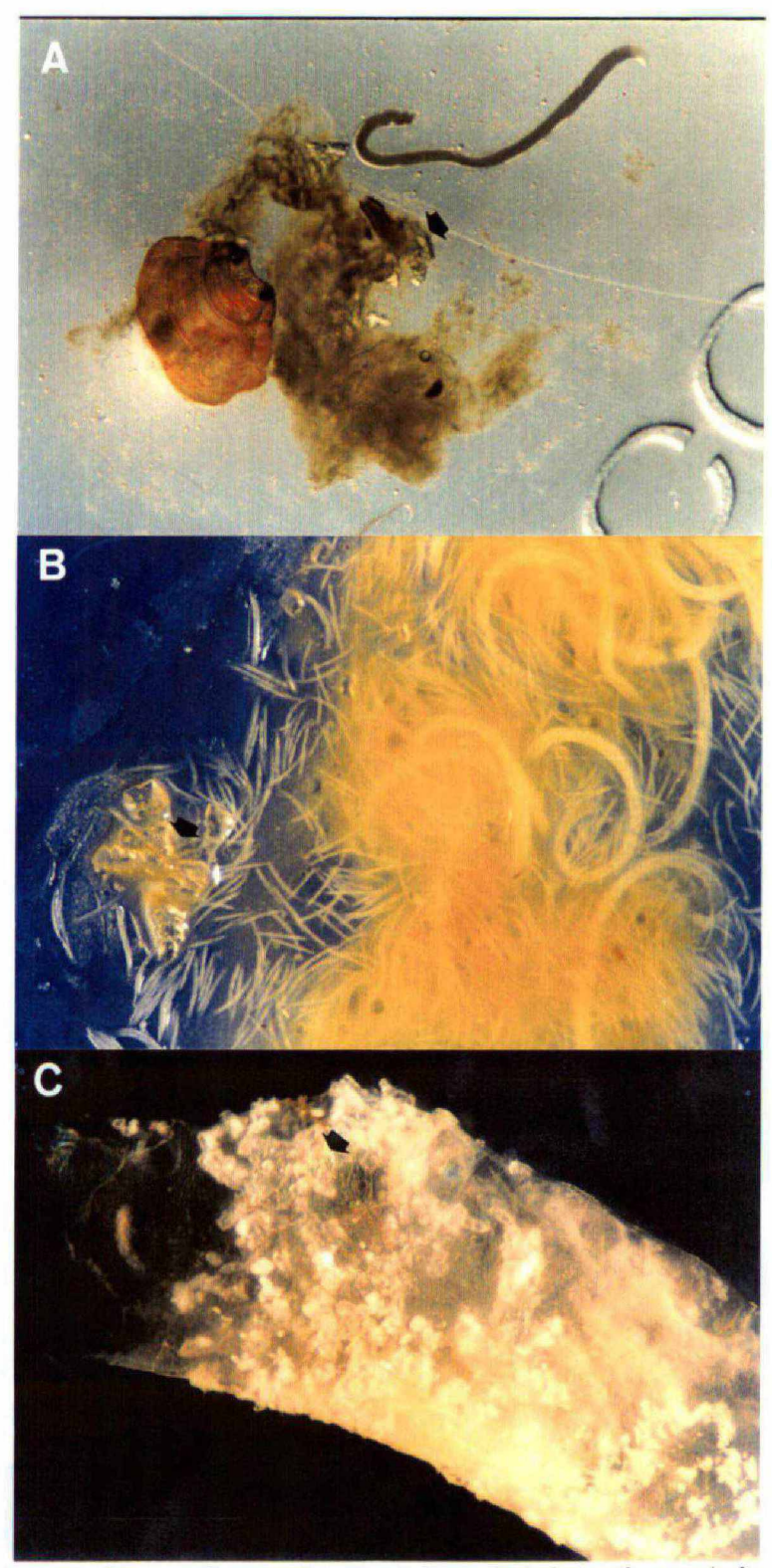


Figura 3 - Processo de encapsulamento em larvas de *A. fraterculus* parasitadas por nematóides. **A** - Fêmea de *S. carpocapsae* encapsulada na parte anterior da pupa (aparelho bucal), com grande formação de grânulos cristalinos (aumento 12X); **B** - Grânulos cristalinos na hemolinfa de uma larva parasitada por *S. carpocapsae* (aumento 16X); **C**- Grânulos cristalinos aderido em todo tegumento de uma larva parasitada por *S. glaseri* (aumento 13X).

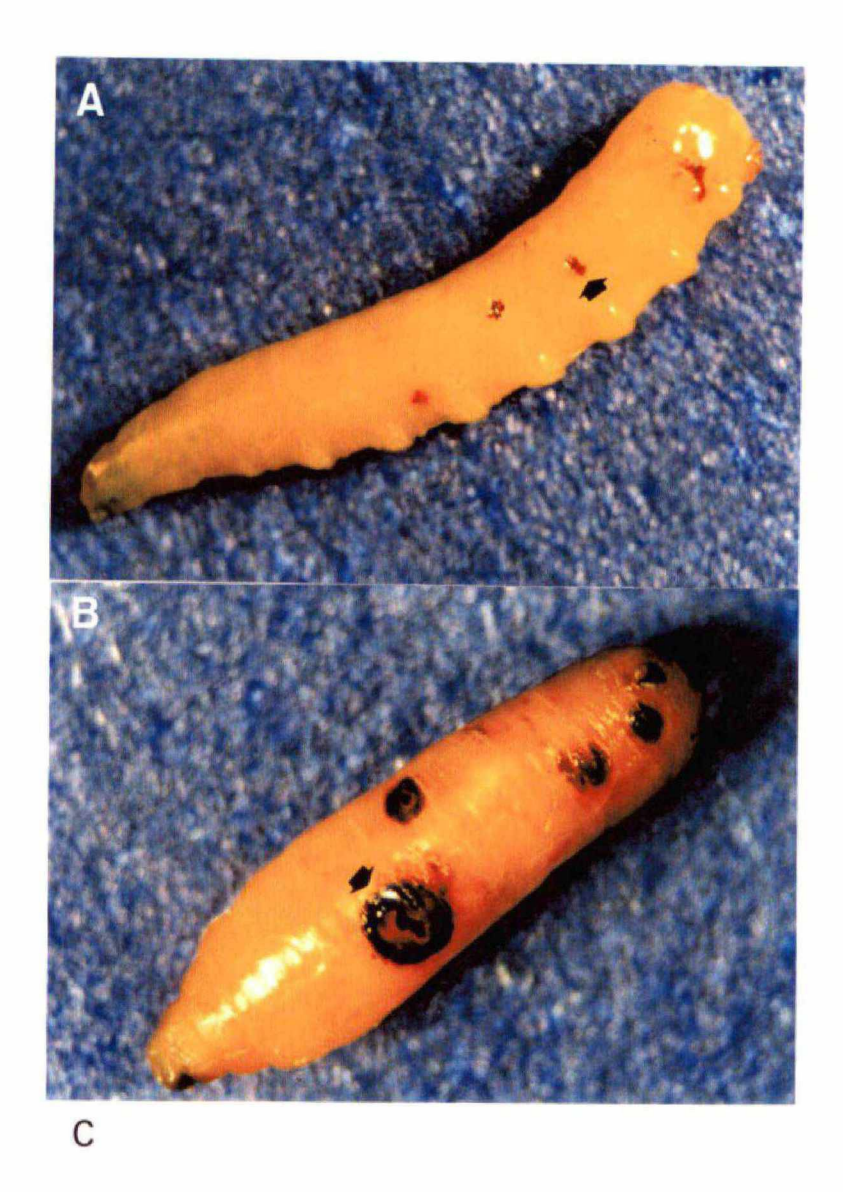




Figura 4 - Processo de melanização em larvas de *A. fraterculus* parasitadas por *S. glaseri*. **A** - Manchas melanóticas formadas 24 horas após a penetração do nematóide (aumento 13X); **B** - Manchas melanóticas formadas 48 horas após a penetração do nematóide (aumento 12X); **C** - Melanização da pupa, em todo tegumento (aumento 12X).

Tabela 2 - Porcentagem de encapsulamento e melanização de larvas e pupas de A.

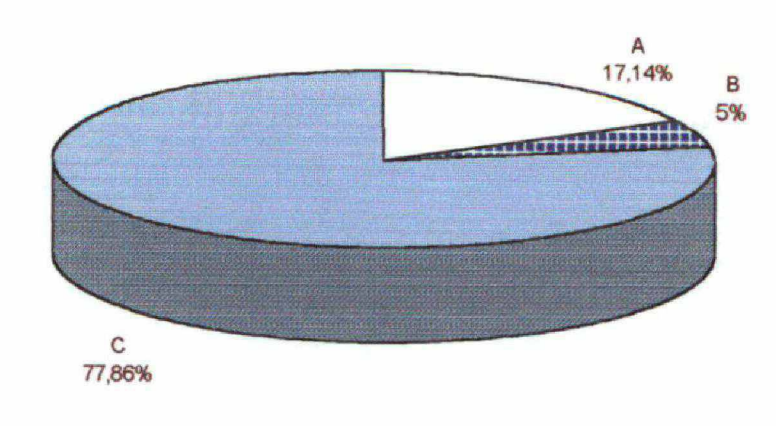
fraterculus parasitadas por S. carpocapsae e S. glaseri

Nematóides	S. carpocapsae		S. glaseri		
A. fraterculus	Larvas	Pupas	Larvas	Pupas	
Encapsulamento (%)	100	89,28	92,85	85,71	
Melanização (%)	0	0	100	100	

Mecanismos de defesa das larvas afetando a reprodução dos nematóides

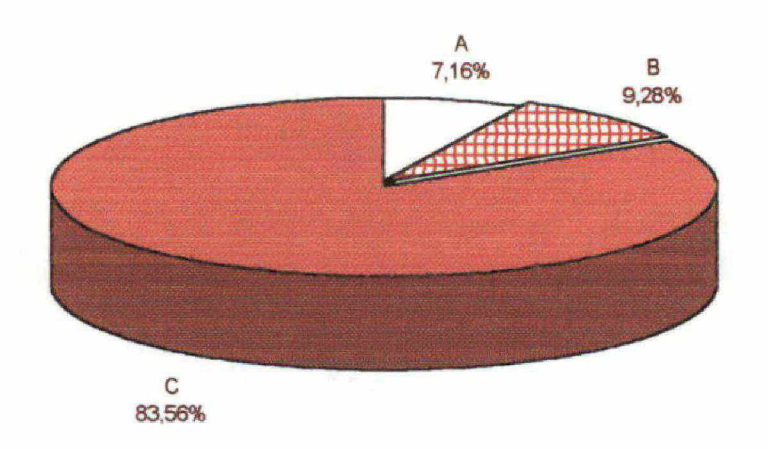
Nas larvas de A. fraterculus parasitadas por S. carpocapsae foram observados o desenvolvimento e a reprodução dos nematóides com a liberação de infectivos e adultos de 2ª geração. Em 17,14% das larvas ocorreu somente a emergência de infectivos (L₃). No interior de 77,86 % das larvas foi observado a ocorrência de adultos imaturos e maturos de 2ª geração e em somente 5% houve a liberação de adultos de 2ª geração. (Figura 5).

Nas larvas parasitadas por *S. glaseri* foi observado que em 83,56 % dos casos, houve liberação de adultos de 1^a geração. Em 9,28 % das larvas foi constatada a presença de L₃ de 2^a geração e, em somente 7,16% das larvas foi observada a emergência de L₃ de 2^a geração. Não foi observada a liberação de infectivos de 3^a geração. (Figura 6).



- A Emergência de L3 de 2ª geração
- B Adultos de 2ª geração liberados ao meio
- C 2ª geração, adultos maturos e imaturos dentro do inseto

Figura 5 - Porcentagem de desenvolvimento de *S. carpocapsae* em larvas de *A. fraterculus* com reações de encapsulamento, nove dias após a mortalidade



- A Emergência de L_3 de 2^a geração
- B L₃ de 2ª geração dentro da larva
- C Adultos de 1ª geração liberados ao meio

Figura 6 - Percentual de desenvolvimento de *S. glaseri* em larvas de *A. fraterculus* com reações de encapsulamento e melanização, sete dias após a mortalidade

5.2 - Controle de A. fraterculus inoculadas com diferentes dosagens de S. carpocapsae e S. glaseri

Mortalidade

Para as duas espécies de nematóides, a dosagem mais eficiente foi a de 316 nematóides/larva, com um intervalo de confiança de 77 a 94% de mortalidade para A. fraterculus inoculadas com S. carpocapsae e de 78 a 95% para as larvas inoculadas com S. glaseri. A mortalidade foi proporcional ao aumento do número de nematóides/larva. Apesar da dose de 316 nematóides/larva ser a mais eficiente, ela acrescenta um pequeno aumento no percentual de mortalidade das larvas de A. fraterculus, comparado com a dose de 112 nematóides/larva (Tabela 3, Figura 7 e Apêndice 7).

Na média geral das diferentes doses, as larvas inoculadas com *S. glaseri* apresentaram uma menor formação de pupas, comparadas com as larvas inoculadas com *S. carpocapsae* (Tabela 4, Figura 8).

Das larvas de A. fraterculus inoculadas com S. carpocapsae 55,75% empuparam, e deste total 10,67% foram parasitadas. Em larvas inoculadas com S. glaseri foi observado que em 32,81% houve a formação de pupas e destas, somente 6,4% foram parasitadas pelo nematóide (Tabela 4).

A DL₅₀ de S. carpocapsae foi calculada em 32,35 nematóides/larva, com limites de 6,87 a 104,82. Para S. glaseri a DL₅₀ 41,26 nematóides/larva (Tabela 5).

Tabela 3 - Porcentagem de mortalidade de A. fraterculus inoculadas com diferentes

dosagens de S. carpocapsae e S. glaseri

Nematóides/larva	0	5	14	40	112	316
Nematóides						
S. carpocapsae	1,33	25,33	45,33	54,67	56	85,33
S. carpocapsae (*)	-	24,32	44,59	54,06	55,41	85,13
S. glaseri	1,33	14,67	25,33	53,33	72	86,64
S. glaseri (*)	-	13,52	24,32	52,70	71,62	86,46

^(*) Mortalidade corrigida pela fórmula de Abbott.

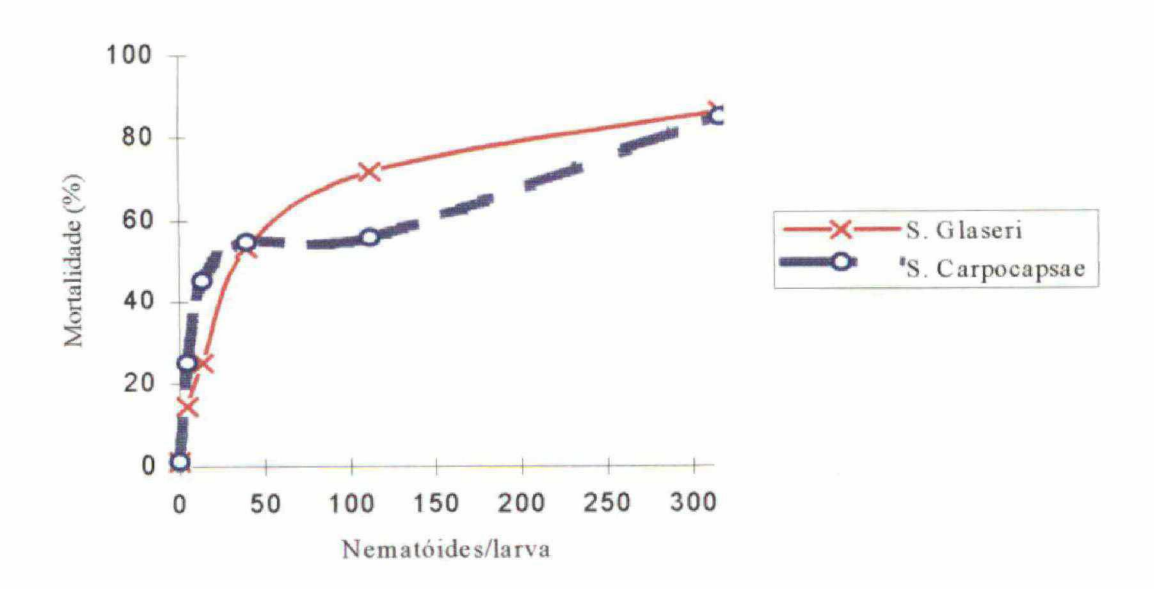


Figura 7 - Porcentagem de mortalidade de A. fraterculus inoculadas com diferentes dosagens de S. carpocapsae e S. glaseri

Tabela 4 - Porcentagem de formação de pupas de A. fraterculus, submetidas a S. carpocapsae e S. glaseri

Nematóides Pupas	S. glaseri	S. carpocapsae
Sadias	26,41	45,08
Parasitadas	6,4	10,67
Total	32,81	55,75

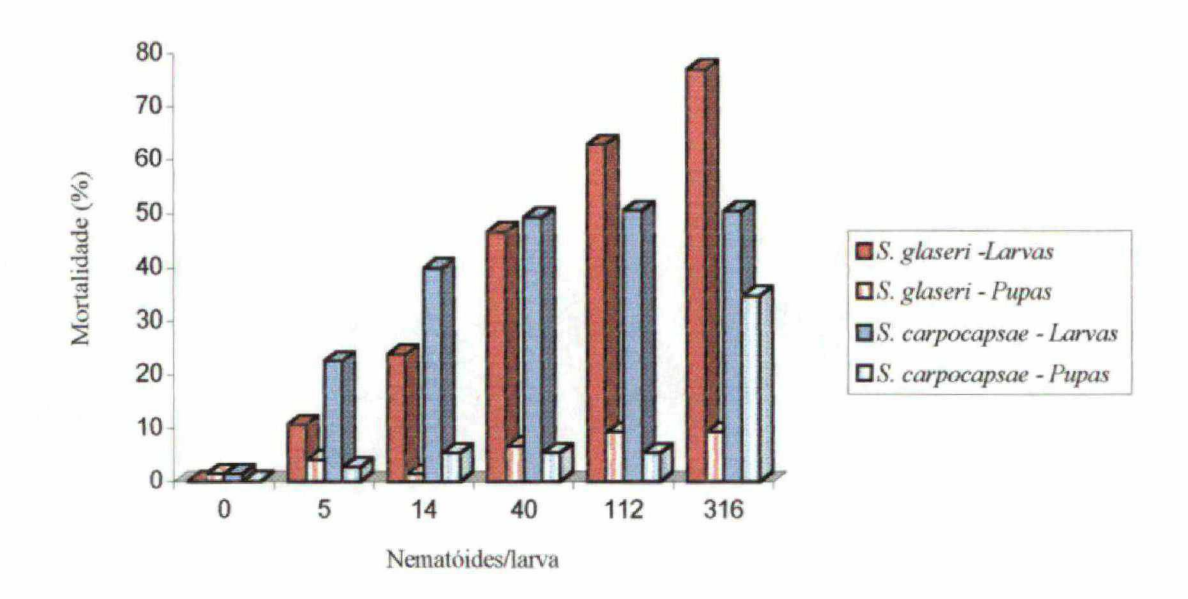


Figura 8 - Porcentagem de mortalidade de larvas, e larvas (pupas) de A. fraterculus parasitadas por S. carpocapsae e S. glaseri e continuaram o processo de formação de pupas

Tabela 5 - DL50 de larvas inoculadas com seis contrações de S. carpocapsae e S. glaseri

Nematóides	DL ₅₀	Limites	
S. glaseri	41,26 nematóides/larva	30,86 a 54,75	
S. carpocapsae	32,35 nematóides/larva	6,87 a 104,82	

Desenvolvimento dos nematóides nas larvas de A. fraterculus, e liberação de infectivos de S. carpocapsae e S. glaseri

Os resultados obtidos demonstraram que as duas espécies de nematóides foram capazes de se desenvolver e reproduzir em larvas de A. fraterculus.

S. carpocapsae: Foi observado que o desenvolvimento da primeira à terceira geração de nematóides no interior das larvas de A. fraterculus ocorreu num período de nove a 15 dias (Figura 9 A, B e C).

De um total de 75 larvas de Anastrepha examinadas, foi observado que em 45% os infectivos (L₃) que deixaram o cadáver ao nono dia, eram de segunda geração. Entretanto, foi observado que no interior das larvas existiam também adultos de segunda geração, indicando a possível formação de infectivos de terceira geração. No restante das larvas dissecadas (55 %), foi observada a presença de adultos de 2ª geração e também juvenis de 3ª geração. Nas larvas inoculadas com as doses de 40 e 112 nematóides/larva, e que não foram dissecadas, ocorreu a emergência de infectivos (L3) de terceira geração. Os infectivos de S. carpocapsae começaram a deixar o cadáver 10 a 15 dias após a morte do inseto e produziram em média 10.592 nematóides por larva (Figura 10A).

Na dosagem de 5 e 14 nematóides/larva, penetraram em média 3,13 e 5,00 nematóides/inseto. Em 62,5 % das larvas (de um total de 30) os nematóides ainda estavam aprisionados dentro do inseto, sendo eles de 1ª e 2ª geração. Nas dosagens de 40 e 112 nematóides/larva, foi encontrado uma média de 8,8 e 12,25 nematóides/larva, sendo observado que nestas dosagens ocorreu um melhor desenvolvimento dos nematóides no interior das larvas. Em 100 % das larvas dissecadas (30), os nematóides estavam na segunda geração.

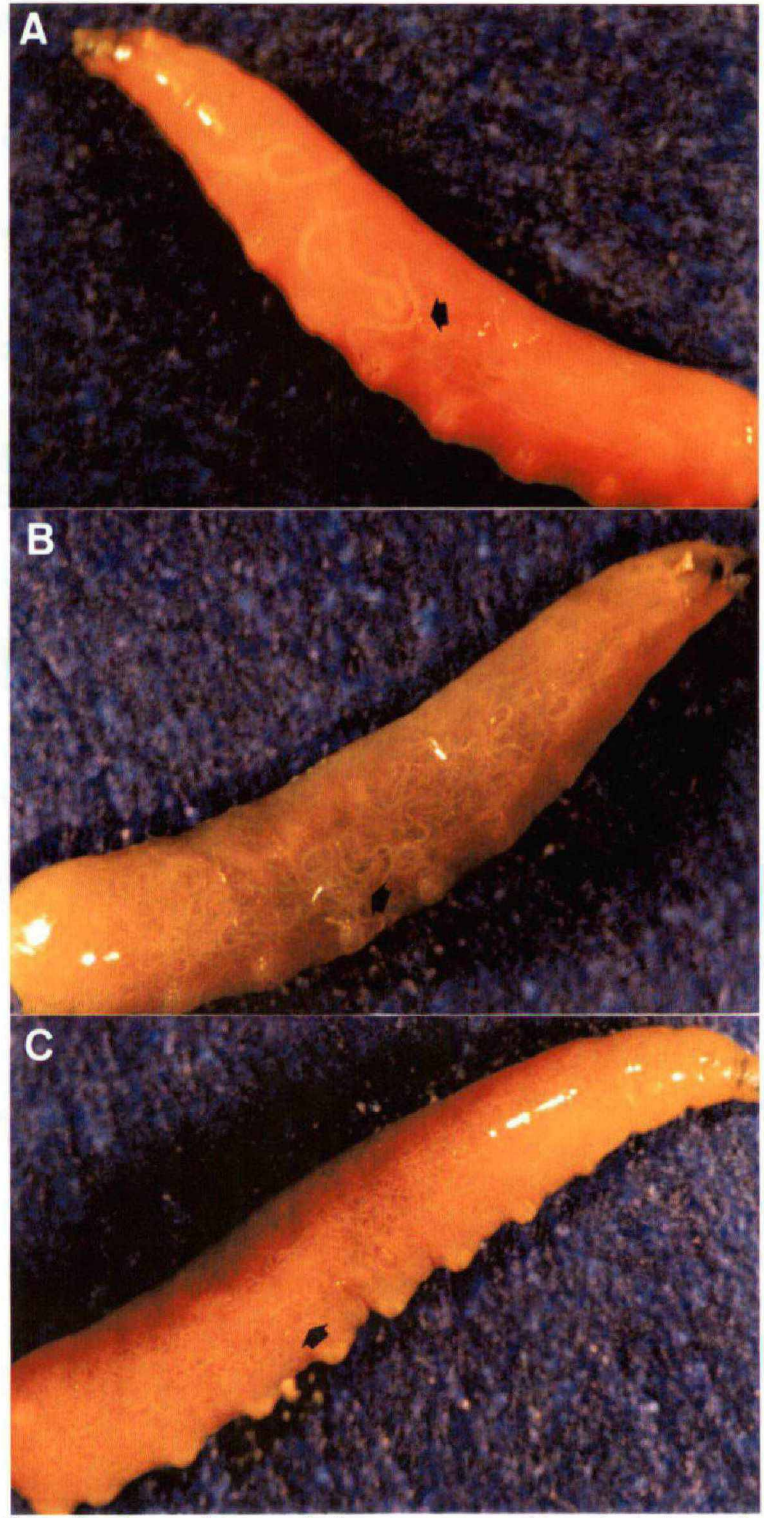


Figura 9 - Desenvolvimento de *S. carpocapsae* em larvas de *A. fraterculus* (aumento 12X): **A** - Adultos de primeira geração; **B** - Adultos e juvenis de segunda geração, **C** - infectivos de terceira geração.

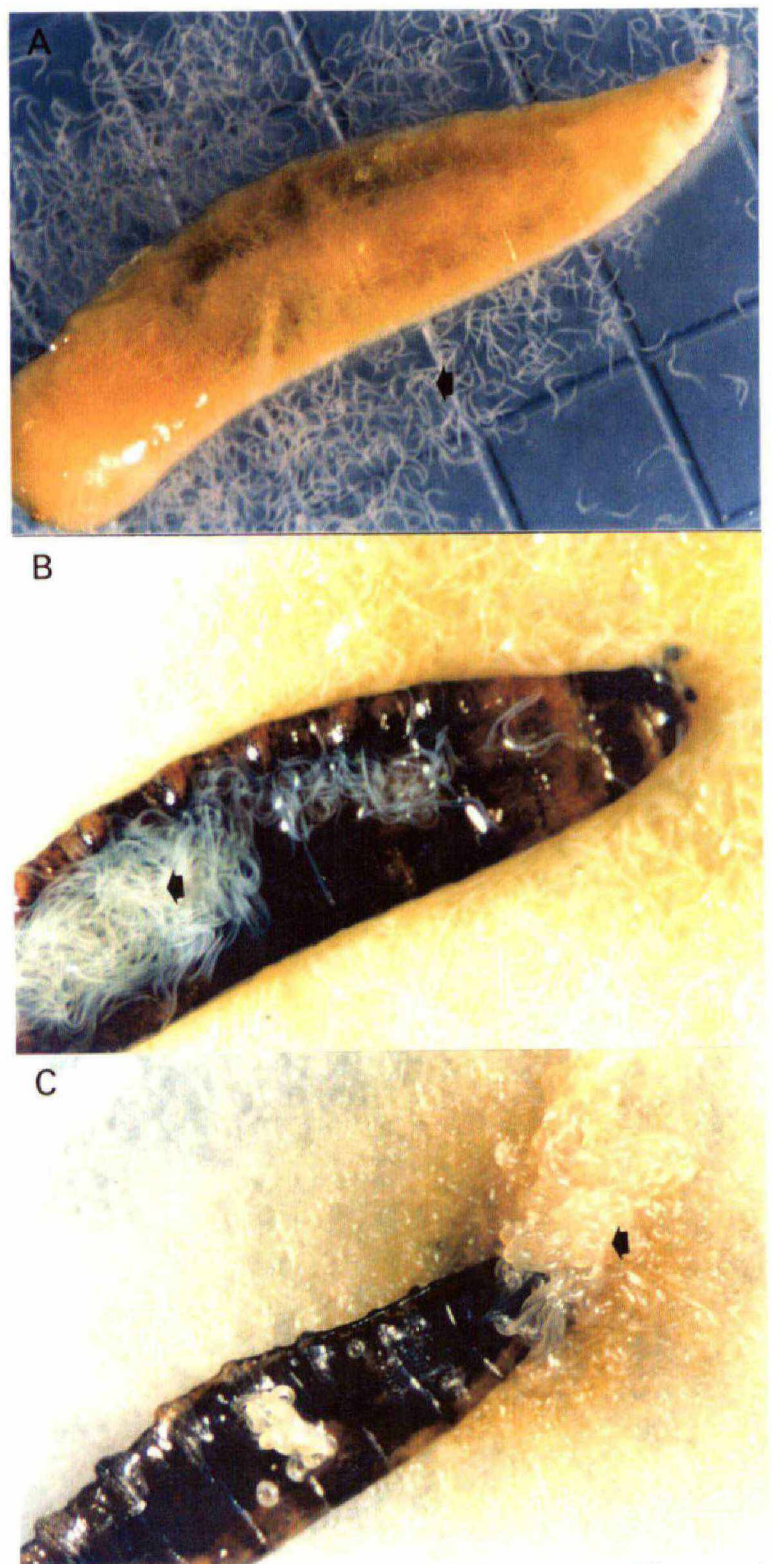


Figura 10 - Liberação de nematóides infectivos (L₃) e adultos ao meio (aumento 12X): A - liberação de L₃ de S. carpocapsae; B - liberação de L₃ de S. glaseri, C - Liberação de adultos de primeira geração de S. glaseri

Na dose de 316 nematóides/larva, foi constatado uma média de 77,28 nematóides/larva. Em 25% de 15 larvas dissecadas, ocorreu liberação de L3, juntamente com adultos e juvenis de segunda geração (Tabela 6).

S. glaseri: Nas larvas infectadas por S. glaseri, desenvolveram-se apenas duas gerações de nematóides, ocorrendo a emergência de infectivos de segunda geração. Os infectivos de S. glaseri começaram a deixar o cadáver seis a oito dias após a morte do inseto, produzindo um total de 1086 infectivos/larva (Figura 10B).

Na dosagem de 5 e 14 nematóides/larva, penetraram em média 3,33 e 6,00 nematóides/larva. Foi observado que em 62,5 % das 30 larvas dissecadas ocorreu a morte dos nematóides no interior das larvas, e em 37,5 % houve liberação de juvenis de 4º ínstar (L₄) e adultos de primeira geração. Nas dosagens de 40 e 112 nematóides/larva, penetraram 10,6 e 20,8 nematóides/larva respectivamente. Em 75 % de um total de 30 larvas, ocorreu a liberação de L₃ de segunda geração, no restante das larvas, aconteceu a morte dos nematóides.

Na dose de 316 nematóides/larva, penetraram 54,87 nematóides/larva. Em 53,33 % do total de 15 larvas houve liberação de adultos de primeira geração, e em 46,67% das larvas os nematóides morreram no seu interior. O maior número de nematóides foi encontrado na dosagem de 316 nematóides/larva (Tabela 6, Figura 10C).

Tabela 6 - Número médio de S. carpocapsae e S. glaseri que penetrou nas larvas de A.

fraterculus em cinco dosagens

Dosagens (Nem./larva) Nematóides	5	14	40	112	316
S. carpocapsae	3,13	5,00	8,80	12,25	77,28
	(1,0-4,0)	(1,0-7,0)	(3,0-10,0)	(8,0-40,0)	(43,0-112,0)
S. glaseri	3,33	6,00	10,6	20,8	54,87
	(1,0-5,0)	(2,0-5,0)	(3,0-12,0)	(12,0-25,0)	(21,0-87,0)

Observou-se interação significativa (p<0,05) entre as médias de mortalidade de A. fraterculus nas diferentes dosagens e nas diferentes espécies de nematóides, porém só ocorreu diferença significativa entre as diferentes dosagens de nematóides (Tabela 7 e 8, Apêndice 3).

Nas doses de 40 e 316 nematóides/larva não ocorreu diferença significativa na comparação de médias de mortalidade de *A. fraterculus* inoculadas com *S. carpocapsae* e *S. glaseri* (Tabela 7). Comparando-se a média geral de mortalidade ocasionada em todas as doses, não ocorreu diferença significativa entre as espécies de *S. carpocapsae* e *S. glaseri*, mostrando que os nematóides possuem eficiência semelhante (Tabela 8).

Tabela 7 - Comparação de médias do porcentual de mortalidade de A. fraterculus, inoculadas com diferentes dosagens de S. carpocapsae e S. glaseri.

Dosagens	Repetições	Médias		
0	10	1,334000	a	
5	10	20,000000	b	dms=12,66
14	10	35,334000	c	
40	10	53,999000	d	
112	10	64,001000	d	
316	10	85,986000	е	

Médias seguidas por letras diferentes apresentam diferenças significativas ao nível de 5%, segundo o teste de Tukey.

Tabela 8 - Comparação de médias do porcentual de mortalidade de A. fraterculus inoculadas com S. carpocapsae e S. glaseri

Nematóides	Repetições	Médias		
S. glaseri	30	42,217667	a	dms=5,14
S. carpocapsae	30	44,667000	a	

Médias seguidas por letras iguais não apresentam diferenças significativas ao nível de 5 %, segundo o teste de Tukey.

5.3 - Controle de A. fraterculus com S. carpocapsae em diferentes temperaturas

Os resultados indicam que a mortalidade de A. fraterculus aumentou com o aumento da temperaturas e com o aumento das dosagens. Ocorreu interação significativa entre as temperatura e as doses (p = 0.0000), desta forma, a proporção de larvas mortas foi influenciada pela combinação dos dois fatores (Apêndice 4).

A menor mortalidade de larvas, nas diferentes dosagens de nematóides, foi observada em temperatura de 15°C. A mortalidade foi significativa apenas para os resultados obtidos na temperatura de 20°C e, quando a dosagem foi aumentada de 112 para 316 nematóides/larva. Nestas condições, foi observado uma mortalidade de 59,46 e 82,43% respectivamente. A maior porcentagem de mortalidade foi observada em temperatura de 25°C. Entretanto, a mortalidade nesta temperatura, praticamente foi a mesma nas dosagens de 112 e 316 nematóides/larva onde ocorreu 91,76 e 90,38% respectivamente. Na temperatura de 30°C não foi observado diferença significativa entre as dosagens de 112 e 316 nematóides/larva (Tabela 9). A maior mortalidade foi encontrada em larvas de *A. fraterculus* expostas a 112 nematóides/larva e que foram mantidas a 25°C (Tabelas 9, 10 e 11, Figura 11 e Apêndice 8).

Existe diferença significativa entre todas as dosagens utilizadas. Porém a maior mortalidade obtida com a dose de 316 nematóides/larva, não justifica o uso desta dose, pois o aumento de 112 para 316 nematóides/larva, proporciona um acréscimo de 182% no número de nematóides/larva, e apenas um aumento 7,33% na mortalidade de *A. fraterculus* (Tabela 10).

Tabela 9 - Porcentagem de mortalidade de larvas de A. fraterculus, inoculadas com S.

carpocapsae em diferentes temperaturas e dosagens

Dosagens (nem./larva) Temp. (°C)	0	5	14	40	112	316
15	1,33	6,67	12	18,67	20	22,67
15 *		5,41	10,81	17,57	18,92	21,62
20	1,33	13,33	16	40	60	82,67
20 *		12,16	14,86	39,19	59,46	82,43
25	2,67	26,67	41,33	60	91,98	90,64
25 *		24,66	39,72	58,90	91,76	90,38
30	4	21,33	49,33	61,33	74,67	80
30 *		18,05	47,22	59,72	73,61	79,17

^(*) Mortalidade corrigida pela fórmula de Abbott.

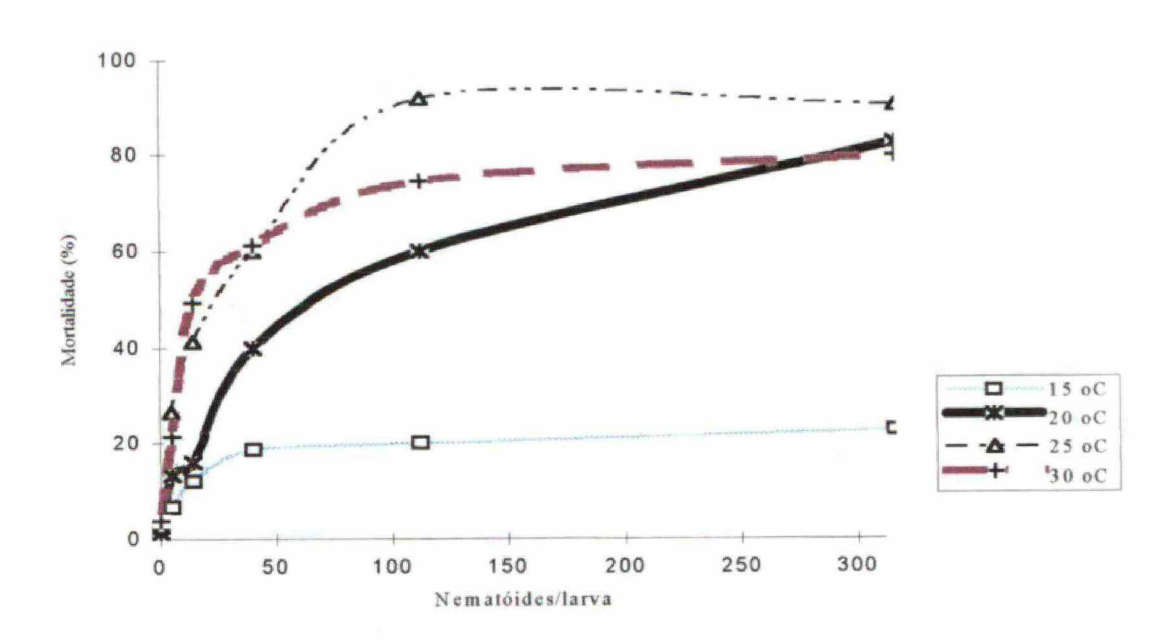


Figura 11 - Porcentagem de mortalidade de larvas de *A. fraterculus*, expostas a *S. carpocapsae* em diferentes temperaturas e dosagens

Tabela 10 - Comparação de médias do porcentual de mortalidade de A. fraterculus, inoculadas com S. carpocapsae em diferentes dosagens

Dosagens	Repetições	Médias		
0	20	2,334000	a	
5	20	17,000500	b	dms=5,92
14	20	29,666500	c	
40	20	45,000000	d	
112	20	61,661000	e	
316	20	68,995000	f	

Médias seguidas por letras diferentes apresentam diferenças significativas ao nível de 5%, segundo o teste de Tukey.

Tabela 11 - Comparação de médias de mortalidade de A. fraterculus, inoculadas com S. carpocapsae em diferentes temperaturas

Temp. (°C)	Repetições	Médias		
15	30	13,555667	a	
20	30	35,555667	b	dms=4,35
25	30	52,215333	c	
30	30	48,444667	c	

Médias seguidas pela mesma letra não diferem significativamente ao nível de 5%, segundo o teste de Tukey.

A proporção média de mortalidade das larvas foram iguais para as temperaturas de 25 - 30°C e diferentes para as demais temperaturas.

Os resultados demonstram que não ocorreu interação significativa entre as dosagens e temperaturas, na porcentagem de formação de pupas. Desta forma, os fatores afetaram a formação de pupas de forma independente (Apêndice 5). Ocorreu maior formação de pupas na temperatura de 15°C, seguido por 20 e 25°C, e por último 30 °C. Nas temperaturas de 20 e 25°C, também aconteceu maior parasitismo das pupas, demonstrando que as larvas foram infectadas e continuaram o processo normal de formação de pupas. Nas doses de 112 e 316

nematóides/larva, formou-se mais pupas como também ocorreu maior parasitismo, comparando-se com as demais dosagens (Tabelas 12 e 13). A maior ocorrência de pupas, como também o maior número de pupas parasitadas foi observado nas doses de 112 e 316 nematóides/larva.

Tabela 12 - Porcentagem média do efeito de diferentes dosagens na formação de pupas sadias e parasitadas de A. fraterculus, inoculadas com S. carpocapsae em diferentes temperaturas

Temp. (°C)	15	20	25	30
Sadias	48,43	30	27,77	22,66
Parasitadas	10,45	18,67	18,9	8,67

Tabela 13 - Porcentagem média de formação de pupas de A. fraterculus, das quatro

temperaturas, expostas a S. carpocapsae em diferentes dosagens

Dosagens Pupas	<u> </u>	5	14	40	112	316
Sadias	35,34	43,66	36	30	27,66	20,33
Parasitadas .	0,66	6,67	7,67	13,33	26,01	31

5.4 - Controle de A. fraterculus com aplicação de S. carpocapsae em solo textura barro-argilosa

Mortalidade

Os resultados alcançados demonstram que existe diferença significativa entre as diferentes dosagens de nematóides aplicadas em solo para o controle de *A. fraterculus* (p=0,0000) (Apêndice 6). Na dosagem de 188 nematóides/cm² de solo não foram observadas larvas parasitadas; entretanto, 33,33% de pupas foram encontradas parasitadas por nematóides. Na dose de 531 nematóides/cm² de solo foi observado uma mortalidade de 61,34% de pupas e de 1,33% de larvas. A maior mortalidade (91,64%) foi obtida com a dose de 1497 nematóides/cm² de solo. Os resultados mostraram que quanto maior a dose, maior a mortalidade das larvas, ocorrendo diferença significativa entre todas as doses (p<0,05) (Tabela 14 e15, Figura 12).

A DL₅₀ calculada para *S. carpocapsae* foi de 343,57 nematóides/cm² de solo, com um limite de 261,53 a 429,00 nematóides (Tabela 16).

Tabela 14 - Porcentagem de pupas e larvas de A. fraterculus sadias e parasitadas por S.

carpocapsae, aplicados em solo textura barro argilosa.

Nematóide/cm² de solo Fase	0	188	531	1497
Pupas sadias	97,33	66,67	37,33	8,04
Pupas parasitadas	2,67	33,33	61,34	90,63
Larvas parasitadas	0	0	1,33	1,33
Mortalidade (*)	_	31,51	61,64	91,74

^(*) Mortalidade corrigida pela fórmula de Abbott.

Tabela 15 - Comparação de médias do porcentual de mortalidade de *A. fraterculus* expostas à diferentes doses de *S. carpocapsae* em solo textura barro-argilosa

Dosagem	Repetições	Médias		
0	5	2,668000	a	
890	5	33,334000	b	dms=18,3846
2510	5	62,666000	c	
7074	5	91,960000	d	

Médias seguidas por letras diferentes, diferem significativamente ao nível de 5%, segundo o teste de Tukey.

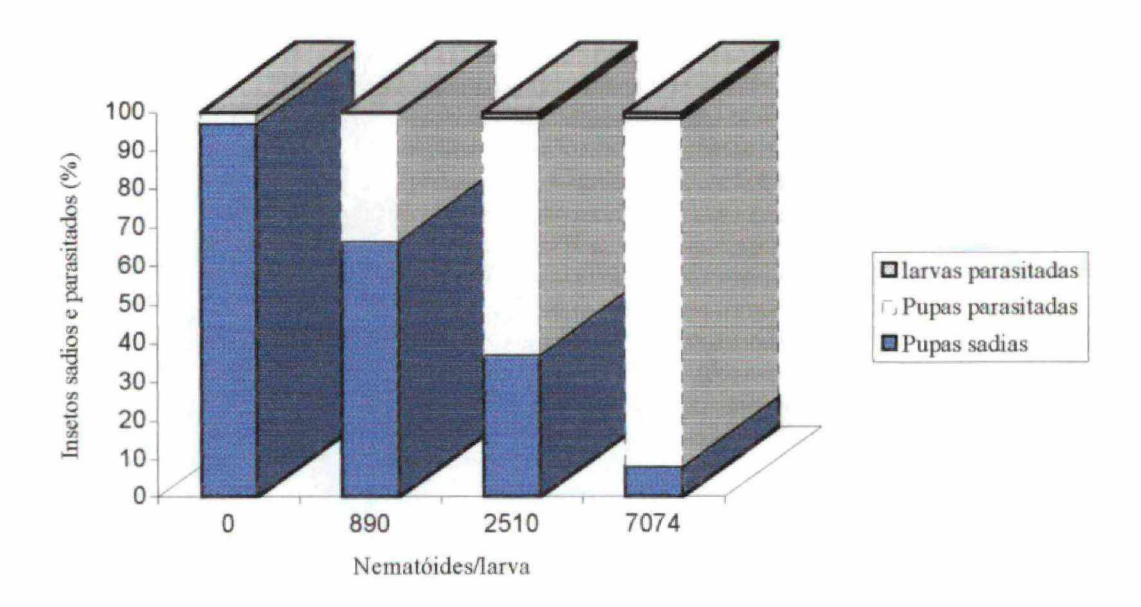


Figura 12 - Porcentagem de larvas e pupas de *A. fraterculus* sadias e parasitadas por *S. carpocapsae* em solo textura barro argilosa

Tabela 16 - DL₅₀ das larvas de A. fraterculus parasitadas por S. carpocapsae em solo

Nematóides	DL ₅₀	Limites	
S. carpocapsae	343,57 nematóides/cm² solo	261,53 - 429,00	

6 - DISCUSSÃO

Os resultados de laboratório mostraram que as larvas de A. fraterculus são suscetíveis aos nematóides entomopatogênicos.

Na observações realizadas em laboratório foi constatado que ocorreu a formação de grânulos de aspecto cristalino no interior das larvas e pupas de A. fraterculus parasitadas por S. carpocapsae e S. glaseri. A formação de melanina nas capsulas só foi observada em larvas e pupas parasitadas por S. glaseri. Estes mecanismos de defesa avaliados em larvas de A. fraterculus são citados também para os dípteros Aedes aegypti, Musca domestica e Orthelia caesarium quando parasitadas por nematóides, ocorrendo o encapsulamento em várias regiões do corpo (Nappi & Stoffolano, 1971, 1972a, 1972b; Andreadis & Hall, 1976; Beresky & Hall, 1977). As cápsulas provavelmente são resultados da ativação das fenoloxidases da hemolinfa, com a composição final de proteína-polifenol, que isola fisicamente o patógeno (Gotz & Vey, 1974; Christensen et al., 1984, 1989). Segundo Beresky & Hall (1977), é possível que a formação de fenoloxidases possa causar um acúmulo de substâncias tóxicas as quais podem causar a morte dos parasitos. É provável que algumas proteínas sejam liberadas pelo hospedeiro ou pelo parasita em resposta ao parasitismo. Até o momento, a função desta proteína é desconhecida. Entretanto, segundo os mesmos autores, ela pode ser um importante mecanismo de defesa dos hospedeiros.

Novas estratégias de controle são necessárias para reduzir a população de A. fraterculus. Nos resultados obtidos em laboratório, foi evidenciado que a mortalidade das larvas de A. fraterculus, mostrou diferenças significativas entre as espécies e doses de

nematóides. Entretanto, observou-se que S. carpocapsae e S. glaseri, possuem eficiência semelhante na média geral de mortalidade.

Em larvas de A. fraterculus quando foi usada a dose de 40 nematóides/larva, não ocorreu diferença significativa entre a mortalidade causada por S. carpocapsae "strain" All (54,06%) e S. glaseri "strain" Alcídia (52,70%). Estes resultados diferem dos dados obtidos por Beavers e Calkins (1984), quando utilizaram esta mesma dose, para avaliar a mortalidade de larvas de 4 a 5 dias de A. suspensa, inoculadas com S. feltiae "strain" All e S. glaseri "strain" México. Os dados obtidos, apresentaram maior mortalidade das larvas de A. suspensa inoculadas S. carpocapsae "strain" All, com 90,7 % de mortalidade, comparado com S. glaseri "strain" México, que causou apenas 15,7% de mortalidade nas larvas. Segundo os autores, a baixa mortalidade causada por S. glaseri pode ser devido ao maior tamanho desta espécie. Este fato pode também ser explicado por Fan (1989) e Molyneux (1986), que citam que isolados de nematóides entomopatogênicos da mesma espécie, porém de regiões geográficas diferentes, apresentam comportamento distinto.

Em larvas de A. fraterculus, tanto S. carpocapsae como S. glaseri, desenvolveramse melhor quando foram usadas as dosagens de 40 e 112 nematóides/larva, penetrando em média 8,8 e 12,25 S. carpocapsae/larva e 10,6 e 20,8 S. glaseri/larva. A necessidade de doses altas para um bom desenvolvimento dos nematóides, possivelmente esteja ligada as reações de defesa da larva, que aprisiona em cápsulas alguns nematóides, e causa a mortalidade de outros, quando ocorre a melanização (Rodrigues-Trentini & Schmitt, 1996).

Em todas as doses, ocorreu menor formação de pupas em larvas parasitadas por S. glaseri (32,81%), comparando com as larvas inoculadas com S. carpocapsae (55,75%). A razão para a menor formação de pupas das larvas inoculadas com S. glaseri, pode, provavelmente, estar relacionada com maior desgaste das reservas de carboidratos e

proteínas para atuar na defesa do inseto, pois somente quando parasitadas por este nematóide, ocorreu o encapsulamento e a melanização.

Em larvas de A. fraterculus inoculadas com S. carpocapsae na dose de 316 nematóides/larva, penetrou em média 77,28 infectivos/larva, e nas parasitadas por S. glaseri 54,87 infectivos/larva. Esta alta densidade de nematóides dentro das larvas gerou uma competição por espaço e alimento, ocorrendo a morte e liberação de nematóides juvenis e adultos para o meio externo. Este fato pode ser também observado em outras espécies de insetos (Zervos et al, 1991). Entretanto, a dose ideal para o controle de A. fraterculus, deveria ser estudada com mais detalhes, pois segundo os resultados obtidos neste trabalho a dose ideal estaria provavelmente entre 100 e 150 nematóides/larva. Segundo Fan (1989), o número de nematóides que penetram no inseto pode ser afetado pela temperatura e pelo tempo de exposição do inseto aos nematóides. Em geral, quanto maior o tempo em que o inseto está em contato com o nematóide, maior será o número de nematóides que irão penetrá-lo.

A produção de S. carpocapsae em larvas de A. fraterculus, quando foram usadas as doses de 40 e 112 nematóides/larva, foi de 10.592 nematóides/larva. As larvas pesaram em média 17,35 mg, produzindo 610,49 nematóides/miligrama. Esta produção foi superior a obtida em lagartas de G. mellonella, que produziram 60.000 nematóides/lagarta, e pesaram em média 114,50 miligrama, produzindo 524 nematóides/mg, sendo semelhante a produção citada por Woodring e Kaya (1988), que é de 30 a 50 mil nematóides por G. mellonella. Com as mesmas doses (40 e 112 nematóides/larva) S. glaseri produziu 1.056 nematóides/larva ou 60,68 nematóides/miligrama. Esta menor produção provavelmente se deve ao fato deste nematóide possuir pelo menos o dobro do tamanho de S. carpocapsae,

necessitando assim mais espaço e alimento, podendo estar relacionada também com o tamanho do hospedeiro.

Nas diferentes temperaturas e dosagens observou-se interação significativa entre os fatores doses e temperatura, sendo que com o aumento das dosagens e das temperaturas até 25 °C, houve um aumento da mortalidade das larvas, não ocorrendo diferença significativa para as temperaturas de 25 e 30 °C. S. carpocapsae foi mais efetivo nas temperaturas de 25 e 30 °C do que em 15 e 20 °C. Estes dados coincidem com Zervos et al. (1990), que trabalhando com larvas de G. mellonella com diferentes dosagens de nematóides e temperaturas, obteve interação significativa entre as temperaturas e dosagens, sendo 25 °C a melhor temperatura para a mortalidade, desenvolvimento e reprodução do nematóide.

As larvas de A. fraterculus parasitadas por S. carpocapsae nas temperaturas de 15 a 30°C, 72 h após a inoculação, foram transferidas para incubadoras com temperatura de 25°C, observando-se que em todos os casos, ocorreu liberação de infectivos 10 a 15 dias após a inoculação. Entretanto, Kaya (1977), inoculando larvas de G. mellonella com S. carpocapsae "strain" All, observou que na temperatura de 30 °C, os nematóides tornaram-se adultos, mas não se reproduziram. Também Zervos et al. (1990), não observou a liberação de infectivos de H. heliothidis em temperatura de 30 °C. Este fato pode sugerir que S. carpocapsae "strain" All suporte períodos com temperaturas altas (30°C), e com a queda da temperatura ocorra a produção dos infectivos.

No presente trabalho, na temperatura de 25°C, quando foi usado S. carpocapsae na dose de 40 nematóides/larva, em A. fraterculus com 8 dias (larva), obteve-se 60 % de mortalidade. Beavers e Calkins (1984), trabalhando com larvas, pupas e adultos de A. suspensa, utilizando 40 nematóides/inseto (S. feltiae= S. carpocapsae), com o "strain"

México obteve 90,7 % de mortalidade em larvas de quatro a cinco dias (início do terceiro ínstar), e com o "strain" All 88,1 %. Devido a diferença na idade das larvas utilizadas nos experimentos acima, podemos sugerir que a mortalidade foi semelhante, pois larvas mais jovens são mais suscetíveis ao parasitismo, como foi observado em laboratório.

A aplicação de S. carpocapsae em solo textura barro-argilosa nas dosagens de 890, 2510 e 7074 nematóides/larva (ou 188, 531 e 1497 nematóides/cm² de solo) ocasionou uma mortalidade de 31,51; 61,34 e 91,74 % para as referidas dosagens. Estes dados foram semelhantes aos encontrados por Lindegren e Vail (1986) quando inocularam S. feltiae México em vermiculita para o controle C. capitata, Dacus dorsalis e D. cucurbitae, e obtiveram mortalidade de 9 a 92 %, 9 a 85 % e 0 a 86 % de mortalidade respectivamente, com as doses de 50 a 5000 nematóides/larva. Na dose de 5000 nematóides/larva, os referidos autores obtiveram 85 a 92 %, sugerindo que a mortalidade de 91,74% para A. fraterculus com a dose de 7074 nematóides/larva, possa ser obtida com uma menor dose.

Lindegren et al. (1990) em experimentos de campo também com S. feltiae para o controle de larvas de C. capitata durante três anos consecutivos, usando 150, 500, 1500 e 5000 nematóides/cm² de solo, obteve mortalidade de 18,0 a 80,6%, 52,0 a 96,5%, 70,0 a 98,7% e 92,0 a 99,6 % respectivamente, sendo a maior mortalidade obtida no terceiro ano. Se compararmos estes dados, com os resultados obtidos para A. fraterculus, pode-se concluir que os mesmos sejam semelhantes, sugerindo que as espécies A. fraterculus e C. capitata possuem suscetibilidade semelhante a S. carpocapsae, assim como as espécies D. dorsales e D. cucurbitae.

Lindegren et al. (1990) sugere que 500 nematóides/cm² de solo pode ser uma dose efetiva para suprimir C. capitata, com mortalidade de 52%, no primeiro ano e 96,5 % no

terceiro ano, ocorrendo maior eficiência do bioinseticida em solo, do que em vermiculita. Em A. fraterculus, com dose semelhante, ocorreu mortalidade de 61,64 % em solo barroargiloso e a DL₅₀ foi calculada em 343,57 n./cm² de solo, podendo ser observado que os dados de mortalidade de C. capitata e A. fraterculus são equivalentes, para o primeiro ano.

Em solo 99,33 % das larvas utilizadas nos experimentos empuparam, já em placa de Petri, com a mesma temperatura, apenas 46,67 % das larvas conseguiram empupar, mostrando que apesar de não terem sido expostas a fotofase, a ausência de solo ou substrato para a larva se enterrar interferiu na formação das pupas. Desta forma, em solos a larva muitas vezes empupa antes da penetração dos nematóides. Beavers e Calkins (1984), citam que nos solos, quando a larva empupa antes do parasitismo, os nematóides ficam em volta da pupa, podendo infestar o imago no momento da emergência. Outros autores que trabalharam com pupas, imagos e adultos de mosca-das-frutas, em placas de Petri, observaram alta mortalidade em imagos (45,6 a 100 %) (Ghally, 1988) e em adultos (75 a 93,4%) (Poinar & Hislop, 1981), e baixa mortalidade em pupas (0,4 a 1,1 %) (Beavers & Calkins, 1984). Este fato foi observado também em solo com pupas de *A. fraterculus*, onde ocorreu concentração de grande quantidade de infectivos em volta das pupas, sugerindo em consequência, o parasitismo dos adultos, no momento da emergência.

A aplicação de S. carpocapsae e S. glaseri causou mortalidade de larvas de A. fraterculus. Isto indica que as duas espécies são agentes potenciais para o controle biológico de A. fraterculus podendo esta prática ser implementada para um futuro uso no controle biológico ou integrado de moscas-das-frutas. Entretanto, são necessárias pesquisas adicionais com o desenvolvimento de diferentes técnicas de aplicação a fim de obter um melhor controle e, o conhecimento das melhores dosagens e época de aplicação

para obter um controle economicamente viável. São também necessárias maiores pesquisas para demonstrar as possíveis causas e os efeitos das reações produzidas durante o processo de encapsulamento e melanização em larvas e pupas de A. fraterculus.

7 - CONCLUSÕES

As larvas de A. fraterculus são capazes de encapsular S. carpocapsae e S. glaseri, porém só ocorre melanização nas larvas parasitadas por S. glaseri.

S. carpocapsae é tão efetivo quanto S. glaseri, no controle de larvas de A. fraterculus.

S. carpocapsae e S. glaseri apresentam maior produção e melhor desenvolvimento nas dosagens de 40 e 112 nematóides/larva.

Os infectivos de S. carpocapsae produzidos em larvas de A. fraterculus são de terceira geração, e os infectivos de S. glaseri de segunda geração.

A produção de S. carpocapsae foi dez vezes maior (10592 nematóides\larva) que a produção de S. glaseri (1056 nematóides\larva) em larvas de A. fraterculus.

Ocorre maior formação de pupas, nas larvas inoculadas por S. carpocapsae (55,75 %) do que nas inoculadas por S. glaseri (32,81 %), com uma percentagem semelhante de pupas parasitadas para as duas espécies de nematóides.

O melhor controle de larvas de A. fraterculus é obtido com a aplicação de S. carpocapsae na dosagem de 112 nematóides/larva e na temperatura de 25 °C (91,76% de mortalidade).

Na temperatura de 15°C ocorre maior formação de pupas (58,88 %), e também menor parasitismo das larvas pelos nematóides (5,41 a 21,62 %).

Na temperatura de 30°C ocorre menor formação de pupas (31,33%), e alto parasitismo das larvas pelos nematóides (18,05 a 79,17%).

Nas quatro temperaturas, nas doses de 112 e 316 nematóides/larva 48,46 e 60,39 % do total de pupas formadas, estão parasitadas, mostrando maior pressão dos nematóides sobre as larvas, que foram infestadas e continuaram a empupar.

Em solo, a aplicação de 1497 nematóides/cm² obteve melhor controle (91,74%) das larvas de A. fraterculus.

Em solo a 25°C, 99,33 % das larvas utilizadas nos experimentos empuparam, já em placa de Petri, com a mesma temperatura, apenas 46,67 % das larvas conseguiram empupar.

Para a aplicação a campo dos nematóides entomopatogênicos, no controle biológico de *A. fraterculus*, existe a necessidade de mais trabalhos, possibilitando calcular as doses, custos, melhor época e metodologia para aplicação, nàs condições naturais.

Bibliografia Citada

- AGUILLERA, M. M. 1996. Tecnologia para produção e formulação comercial de nematóides entomopatogênicos p. 192-198. *In*: V Simpósio de Controle Biológico, Foz do Iguaçu, PR.
- AKHURST, R. J. 1982. Antibiotic activity of *Xenorhabdus* spp., bacteria symbiotically with insect pathogenic nematodes of the families Heterorhabditidae and Steinernematidae. J. Gen. Micro. 128: 3061-3065.
- AKHURST, R. J. 1986. Controlling insects in soil with entomopathogenic nematodes p. 265-267. *In*: SAMSON, R. A., VLAK, J. M., PETERS, D. (Eds.). Fundamental and Applied Aspects of Invertebrate Pathology. Wageningen: Foundation of the Fourth International Colloquium od Invertebrate Pathology.
- AKHURST, R. J. & BOEMARE, M. E. 1990. Biology and taxonomy of *Xenorhabdus* p. 75-89. *In*: GAUGLER, R., KAYA, H. K. (eds.) 1990. Entomopathogenic nematodes in biological control. CRC Press. Boca Raton, FL.
- ALUJA, M. 1994. Bionomics and management of *Anastrepha*. Annu. Rev. Entomol. 39: 155-178.
- ANDREADIS, T. G. & HALL, D. W. 1976. Neoaplectana carpocapsae: encapsulation in Aedes aegypti and changes in host hemocytes and hemolymph proteins, Exp. Parasitol. 39: 252-261.
- BALIU, M. B. & MALAVASI, A. 1985. Oviposição de *Anastrepha fraterculus* (Diptera: Tephritidae) em laboratório p. 728. *In*: 37^a Reunião Anual da Sociedade Brasileira para o Progresso da Ciência, Brasilia.
- BATEMAN, M. A. 1972. The ecology of fruit flies. Annu. Rev. Entomol. 17: 493-519.

- BEAVERS, B. J. & CALKINS, C. O. 1984. Susceptibility of *Anastrepha suspensa* (Diptera: Tephritidae) to Steinernematid and Heterorhabditid Nematodes in Laboratory Studies. Environ. Entomol. 13: 137-139.
- BERESKY, M. A. & HALL, D. W. 1977. The influence of phenylthiourea on encapsulation, melanization, and survival in larvae of the mosquito *Aedes aegypti* parazitized by the nematode *Neoaplectana carpocapsae*. J. Invertebr. Pathol. 29: 74-80.
- BRESSAN, S. & TELES, M. C. 1991. Lista de hospedeiros e índices de infestação de algumas espécies do gênero *Anastrepha* Schiner, 1868 (Diptera: Tephritidae) na região de Ribeirão Preto SP. An. Soc. Entomol. Brasil 20: 5-15.
- BURG, T. 1991. Sex in lecks: an overview of sexual behavior in *Anastrepha* fruit flies p. 171-183. *In*: KAWASAKI, K., IWAKASHI, I., KAMESHIRO, K.Y. (eds) **Proceedings** of the International Symposium on the Biology and Control of Fruit Flies. Ginovan, Okinawa, Japan.
- CARVALHO, R. P. L. 1988. Alternativas de controle: Métodos culturais, atraentes, resistência vegetal e controle biológico p. 86-107. *In*: SOUZA, H. M. L. (coord.)

 Moscas-das-frutas no Brasil Anais. Fundação Cargill. Campinas, SP.
- CHAPMAN, R. F. 1982. The haemolymph p. 796-817. In: CHAPMAN, R. F. (ed.). The insects Structure and function. Harvard University Press, Cambridge, Massachusetts.
- CHRISTENSEN, B. M., HUFF, B. M., MIRANPARI, G. S., HARRIS K. L. & CHRISTENSEN, L. 1989. Hemocyte population changes during the immune response of *Aedes aegypti* to inoculated microfilariae of *Dirofilaria immitis*. J. Parasitol. 75: 119-123

- CHRISTENSEN, B. M., SUTHERLAND, D. R. & GLEASON, L. N. 1984. Defense reactions of mosquitoes to filarial worms: comparative studies on the response of three different mosquitoes to inoculated *Brugia pahangi* and *Dirofilaria immitis* microfilariae.

 J. Invertebr. Pathol. 44: 267-272.
- CHRISTENSON, L. D. & FOOTE, R. H. 1960. Biology of fruit flies. Annu. Rev. Entomol. 5: 171-192.
- DUTRY, S. R., THOMPSON, J. V. & CANTWELL, G. E. 1964. A technique for the mass propagation of the DD-136 nematode. J. Insect Pathol. 6: 417-422.
- EPSKY, N. D., WALTER, D. E. & CAPINERA, J. L. 1988. Potential role of nematophagous microarthropods as biotic mortaly factors of entomogenous nematodes (Rhabditida: Steinernematidae, Heterorhabditidae). J. Econ. Entomol. 81: 821-825.
- FAN, X. 1989. Biomonics of British strains of entomopathogenic nematodes (Steinernematidae). Imperial College of London University. (tese de doutorado).
- FARIA, J. T. & SUPLICY FILHO, N. 1989. As possibilidades de criação de *Anastrepha fraterculus* (Wied., 1830), em frutos de mamões papaia, p. 513. In: **Anais do 12²** Congresso Brasileiro de Entomologia, Belo Horizonte MG.
- GEORGIS, R. 1992. Present and future prospects for entomopathogenic nematode products. Bioc. Sci. Technol. 2: 83-89.
- GEORGIS, R. & HOM, A. 1992. Introduction of entomopathogenic nematode products into Latin America and the Caribbean. Nematropica 22: 81-98.
- GHALLY, S. 1988. Pathogenicity of the nematode *Steinernema feltiae* Filipjev in relation to different insect hosts. J. Egypt. Soc. Parasitol. 18: 297-304.

- GHALLY, S. E., EL-DIN, O. S. E. S. & AMIN, M. A. 1988. Effects of the parasitic nematodes on total proteins and total lipids of *Ceratitis capitata* Wied (Diptera, Trypetidae). J. Egypt. Soc. Parasitol. 18: 619-627.
- GOMES, P. 1973. Fruticultura brasileira. Livraria Nobel, São Paulo, 446 p.
- GONZALEZ, J. G., VARGAS, C. V. & JARAP, B. 1971. Estudios sobre la aplicación de la técnica de machos estériles en el control de la mosca sudamericana de la fruta *Anastrepha fraterculus* (Wied.). Rev. Peru. Entomol. 14: 66-85.
- GÖTZ, P. & VEY, A. 1974. Humoral encapsulation in Diptera (Insecta): defense reactions of *Chironomus* larvae against fungi. **Parasitol.** 68: 193-205.
- HERRERA, J. & VIÑAS, L. E. 1977. "Moscas-de-fruta" (Diptera: Tephritidae) em mangoes de Chulucanas, Piura. Rev. Peru. Entomol. 20: 107-114.
- HICKEL, E. R. & SCHUCK, E. 1993. Ocorrência de mosca-das-frutas, *Anastrepha fraterculus* (Diptera: Tephritidae) em frutos de Quivi p. 178. *In*: XIV Congresso Brasileiro de Entomologia, Piracicaba, SP.
- KAYA, H. K. 1977. Development of the DD-136 strain of *Neoaplectana carpocapsae* at constant temperatures. J. Nematol. 9: 346-349.
- KAYA, H. K. 1985. Entomogenous nematodes for insect control in IPM systems p. 283-302. *In*; HOY, M. A., HERZOG, D. C. (eds). Biological control in agricultural IPM systems. Academic Press. New York, NY.
- KAYA, H. K. 1990. Soil ecology p. 93-115. *In*: GAUGLER, R., KAYA, H. K. (eds.) 1990. Entomopathogenic nematodes in biological control. CRC Press. Boca Raton, FL.

- KAYA, H. K. & GAUGLER, R. 1993. Entomopathogenic nematodes. Annu. Rev. Entomol. 38: 181-206.
- KOVALESKI, A., CARVALHO, R. P. L. & SALLES, L. A. B. 1984. Avaliação de danos em frutos de macieira p. 292. *In*: IX Congresso Brasileiro de Entomologia, Londrina, PR.
- KOLLER, O. L. Cadeia produtiva de citrus. EPAGRI (no prelo).
- KUNG, S.-P. & GAUGLER, R. 1990. Soil type and entomopathogenic nematode persistense. J. Invertebr. Pathol. 55: 401-406.
- KUNG, S.-P., GAUGLER, R. & KAYA, H. K. 1990. Influence of soil pH and oxygen on persistence of *Steinernema spp.* J. Nematol. 22: 440-445.
- KUNG, S.-P., GAUGLER, R. & KAYA, H. K. 1991. Effects of soil temperature, moisture, and relative humidity on entomopathogenic nematode persistence. J. Invertebr. Pathol. 57: 242-249.
- LINDEGREN, J. E. & VAIL, P. V. 1986. Susceptibility of mediterranean fruit fly, melon fly, and oriental fruit fly (Diptera: Tephritidae) to the entomogenous nematode *Steinernema feltiae* in laboratory tests. **Environ. Entomol.** 15: 465-468.
- LINDEGREN, J. E., WONG, T. T. & McINNIS, D. O. 1990. Response of mediterranean fruit fly (Diptera: Tephritidae) to the entomogenous nematode *Steinernema feltiae* in field tests in Hawaii. Environ. Entomol. 19: 383-386.
- LOPES, R. M. 1986. Desenvolvimento ovariano e aspectos reprodutivos de *Anastrepha fraterculus* (Diptera: Tephritidae). USP, São Paulo. 96 p. (Tese de mestrado).

- MALAVASI, A. 1984. Estudos de duas espécies crípticas do gênero Anastrepha (Diptera: Tephritidae). Instituto de Biociências da USP, São Paulo. 189 p. (Tese de Livre-Docência).
- MALAVASI, A. & MORGANTE, J. S. 1980. Biologia de "moscas-das-frutas" (Diptera: Tephritidae). II: índices de infestação em diferentes hospedeiros e localidades. Rev. Brasil. Biol. 40: 17-24.
- MALAVASI, A., MORGANTE, J. S. & PROKOPY, R.J. 1983. Distribution and activities of *Anastrepha fraterculus* (Diptera: Tephritidae) flies on host and nonhost trees. **Ann. Entomol. Soc. Am.** 76: 286-292.
- MALAVASI, A., MORGANTE, J. S. & ZUCCHI, R. A. 1980. Biologia de "moscas-das-frutas" (Diptera: Tephritidae). I: Lista de hospedeiros e ocorrência. Rev. Brasil. Biol. 40: 9-16.
- MARTINS, J. C. 1986. Aspectos biológicos de *Anastrepha fraterculus* (Wied., 1830) (Diptera, Tephritidae) em dieta artificial sob diferentes condições de laboratório. ESALQ/USP, Piracicaba. 79 p. (Tese de mestrado).
- MOLYNEUX, A. S. 1985. The biology and ecology of entomopathogenic nematodes Heterorhabditis spp. (Heterorhabditidae) and Steinernema spp. (Steinernematidae). J. Aust. Ent. Sco. 24: 86.
- MOLYNEUX, A. S. 1986. *Heterorhabditis* spp. and *Steinernema* spp. (=*Neoplectana* spp.): temperature and aspects of behaviour and infectivity. **Exp. Parasitol.** 62: 169-180.
- MORRIS, O. N. 1985. Susceptibility of 31 species of agricultural insect pests to the entomogenous nematodes Steinernema feltiae and Heterorhabditis bacteriophora.

 Can. Entomol. 117: 401-407.

- NAPPI, A. J. & STOFFOLANO, Jr., J. G. 1971. *Heterotylenchus autumnalis*: hemocytic reactions and capsule formation in the host, *Musca domestica*. Exp. Parasitol. 116-125.
- NAPPI, A. J. & STOFFOLANO, Jr., J. G. 1972(a). Distribuition of hemocytes in larvae of *Musca domestica* and *Musca autumnalis* possible chemotaxis during parasitization. J. Insect Physiol. 18: 169-179.
- NAPPI, A. J. & STOFFOLANO, Jr., J. G. 1972(b). Haemocytic changes associated with the imune reaction of nematodes infected larvae of *Orthellia caesarion*. Parasitol. 65: 295-302.
- NASCIMENTO, A. S. & CARVALHO, R. S. 1996. Controle biológico de moscas-dasfrutas neotropicais com parasitóides no Brasil p. 97-104. *In*: V Simpósio de Controle Biológico, Foz do Iguaçu, PR.
- NASCIMENTO, A. S., ZUCCHI, R. A., MORGANTE, J. S. & MALAVASI, A. 1982. Dinâmica populacional das moscas das frutas do gênero *Anastrepha* (Diptera: Tephritidae) no recôncavo baiano. II Flutuação populacional. **Pesp. agropec. bras.** 17: 969-980.
- NORA, I. 1994. Mosca-das-frutas. Agrop. Catarinense v.7, nº 4:12.
- ORLANDO, A. & SAMPAIO, A. S. 1973. Moscas-das-frutas. Notas sobre o reconhecimento e combate. O Biológico, São Paulo 39: 143-150.
- POINAR Jr., G. O. 1975. Entomogenous nematodes A manual and host list of insect Nematode associations. Brill, Leiden, 317 p.
- POINAR Jr., G. O. 1988. A microsporidian parasite of *Neoaplectana glaseri* (Steinernematidae: Rhabditida). Revue Nématol. 11: 359-361.

- POINAR Jr., G. O. 1990 (a). Non-insect hosts for the entomogenous rhabditoid nematodes Neoaplectana (Steinernematidae) and Heterorhabditis (Heterorhabditidae). Revue Nématol. 12: 423-428.
- POINAR Jr., G. O. 1990 (b). Biology and taxonomy of Steinernematidae and Heterorhabditidae p. 23-61. *In*: GAUGLER, R., KAYA, H. K. (eds.). Entomopathogenic nematodes in biological control. CRC Press. Boca Raton, FL.
- POINAR Jr. G. O. & HISLOP, R, G. 1981. Mortality of mediterranean fruit fly adults (*Ceratitis capitata*) from parasitic nematodes (*Neoaplectana* and *Heterorhabditis spp.*). IRCS Med. Sci. 9: 641.
- POINAR Jr., G. O. & JANSSON, H.-B 1986 (a). Infection of *Neoaplectana* and *Heterorhabditis* (Rhabditida: Nematoda) with the predatory fungi, *Monacrosporium* ellipsosporum and *Arthrobotrys oligospora* (Moniliales: Deuteromycetes). Revue Nématol. 9: 241-244.
- POINAR Jr., G. O. & JANSSON, H.-B. 1986 (b). Susceptibility of *Neoaplectana spp.* and *Heterorhabditis heliothidis* to the endoparasitic fungus *Drechmeria coniospora*. J. Nematol. 18: 225-230.
- POINAR Jr., G. O. & LEUTENEGGER, R. 1971. Ultrastructural investigation of the melanization process in *Culex pipiens* (Culicidae) in response to a nematode. J. Ultrastruct. Res. 36: 149-158.
- POINAR Jr., G. O., LEUTENEGGER, R. & GÖTZ, P. 1968. Ultrastructure of the formation of a melanotic capsule in *Diabrotica* (Coleoptera) in resposta to parasitic nematode (Mermithidae). J. Ultrastruct. Res. 25: 293-306.
- POINAR Jr., G. O., THOMAS, G. & PROKOPY, R. J. 1977. Microorganisms associated with *Rhagoletis pomonella* (Diptera: Tephritidae) in Massachusetts. **Proc. Entomol.**Soc. Ont. 108: 19-22.

- POPIEL, I., GROVE, D. L. & FRIEDMAN, M. J. 1989. Infective juvenile formation in the insect parasitic nematode *Steinernema feltie*. Parasitol. 99: 77-81.
- RAGA, A. 1990. Uso de radiação gama na desinfestação de mangas destinadas à exportação em relação à *Ceratitis capitata* (Wied., 1824), *Anastrepha fraterculus* (Wied., 1830) e *Anastrepha obliqua* (Macquart, 1835) (Diptera, Tephritidae). ESALQ/USP, Piracicaba. 134 p. (Tese de mestrado).
- RODRIGUES TRENTINI, R.F. & SCHMITT, A. T. 1996. Mecanismos de defesa de Anastrepha fraterculus (Wiedmann, 1830) contra o parasitismo de nematóides entomopatogênicos p. 375. In: V Simpósio de Controle Biológico, Foz do Iguaçu, PR.
- SALLES, L. A. B. 1991. Mosca das frutas (*Anastrepha* spp): bioecologia e controle. Documento 41. EMBRAPA. Pelotas, RS. 16 p.
- SALLES, L. A. B. 1992. Metodologia de criação de *Anastrepha fraterculus* (Wied., 1830) (Diptera: Tephritidae) em dieta artificial em laboratório. **An. Soc. Entomol. Brasil** 21: 479-486.
- SALLES, L. A. B. 1993. Influência do fotoperíodo no desenvolvimento de *Anastrepha fraterculus* (Wied., 1830) (Diptera: Tephritidae). An. Soc. Entomol. Brasil 22: 47-55.
- SALLES, L. A. B. 1995. Isca tóxica para o controle de adultos de *Anastrepha fraterculus* (Wied., 1830) (Diptera: Tephritidae). An. Soc. Entomol. Brasil 24: 153-157.
- SALLES, L. A. B., CARVALHO, F. L. C. & JUNIOR, C. R. 1995. Efeito da temperatura e umidade do solo sobre pupas de *Anastrepha fraterculus* (Wied., 1830). An. Soc. Entomol. Brasil 24: 147-151.
- SCHMITT, A. T. 1993. Biological control of the banana weevil (Cosmopolites sordidus (Germar)) with entomopathogenic nematodes. University of Reading, Department of Agriculture. 210 p. (Tese de doutorado).

- SIMONS, W. R. & POINAR Jr., G. O. 1973. The ability of *Neoaplectana carpocapsae* (Steinernematidae: Nematodea) to survive extended periods of desiccation. J. Invertebr. Pathol. 22: 228-230.
- TIMPER, P. & KAYA, H. K. 1992. Impact of a nematode-parasitic fungus on the effectiveness of entomopathogenic nematodes. J. Nematol. 24: 1-8.
- WASSINK, H. & POINAR Jr., G. O. 1984. Nematological reviews Resenas nematologicas use of the entomogenous nematode, *Neoaplectana carpocapsae* Weiser (Steinernematidae: Rhabditida), in Latin America. **Nematropica** 14: 97-109.
- WELCH, H. E. & BRONSKILL, J. F. 1962. Parasitism of mosquito larvae by the nematode, DD-136 (Nematoda: Neoaplectanidae), Can. J. Zool. 40: 1263.
- WHITE, G. F. 1927. A method for obtaining infective nematode larval from cultures. Sci. 66: 302.
- WILLIANS, E. C. 1991. Comparative investigation of two nematode (Steinernema feltiae and Heterorhabditis sp.) biocontrol products. University of London. Imperial College of Science, Technology & Medicine, Departament of Pure and Applied Biology, Silwood park, Ascot, Berdshire, SL5 7PY. 87 p. (Tese de mestrado).
- WOODRING, J. L. & KAYA, H. K. 1988. Steinernematid and heterorhabditid nematodes: a handbook of biology and techniques. Southern Cooperative Series Bulletin 331. Arkansas Agricultural Experiment Station Fayetteville, Arkansas. 30 p.
- WOODRING, J. P. 1985. Circulatory systems, p. 06-57. In: BLUM, M.S. (ed.). Fundamentals of insect physiology, A Wiley-Interscience Publication John Wiley & Sons, 06-57.

- ZERVOS, S. JOHNSON, S. C. & WEBSTER, J. M. 1991. Effect of temperature and inoculum size on reproduction and development of *Heterorhabditis heliothidis* and *Steinernema glaseri* (Nematoda: Rhabditoidea) in *Galleria mellonella*. Can. J. Zool. 69: 1261-1264.
- ZUCCHI, R. A. 1988. Moscas-das-frutas (Dip., Tephritidae) no Brasil: Taxonomia, distribuição geográfica e hospedeiros p. 1-10. *In*: SOUZA, H. M. L. (coord.) Moscas-das-frutas no Brasil Anais. Fundação Cargill. Campinas, SP.
- ZUCCHI, R. A. & CANAL D., N. A. 1996. Braconídeos parasitóides de moscas-das-frutas na América do Sul p. 89-95. *In*: V Simpósio de Controle Biológico, Foz do Iguaçu, PR.

Apêndices

Apêndice 1 - Laudo de análise química do solo

MINISTÉRIO DA EDUCAÇÃO UNIVERSIDAME FEDERAL DO PARANA SETUR DE CIÊNCIAS AGRARIAS DEPARTAMENTO DE SOLOS Rua dos Funciosarios, s/n - FONE 252-3422 - Cx. P. 672 2001 - Curitiba - Paraná



LAUDO DE ANALISE QUÍNICA CERTIFICADO Nº 9579/96 Total de amostras : Data ENTRADA: 96/98/96

SAIDA : 08/08/96 Data

.

SOLICITANTE. : ROSITA RODRIGUES TRENTINI

IDENTIFICAÇÃO |

DENON/INOVEL : COMUNIDADE : HUNICÍPIO : TERRA ORGANICA

STABO : PR

1 0

ENDERECO (p/ Carrespondência) : R: ANTONIO DOS REIS CAVALHEIRO, 91

DA AMOSTRA | CaCl | Al+3 | H+Al | Ca+4 + Hg+4 | K+ 1 91 (4.80) 9.3 6.2 4. 9

PICI 9.96. 35.9 1 80.0 27.6 3 7 14:1

TI

Meste laudo NÃO constam recomendações de adubos e corretívos, e seu valor e restrito apenas a amostra analisada.

Responsavel Técnico of. José Albes Diomie CHEA IN S

Chefe to Departamento
Prof. Valmigus Costs Line Emp . App.e . CREA

Apêndice 2 - Laudo de análise física do solo

MINISTÉRIO DA EDUCAÇÃO UNIVERSIDADE FEDERAL DO PARANÁ SETOR DE CIÊNCIAS AGRARIAS DEPARTAMENTO DE SOLOS Rua dos Funcionários, s/n - FONE 252-3422 - Cx. P. 672

LAUDO VETTORI Simples

CERTIFICADO Nº 9590/96 Total de amostras : Data ENTRADA : 96/08/96 SAÍDA : 14/08/96 Data

SOLICITANTE.: ROSITA RODRIGUES TRENTINI.

DA AMOSTRA-

8000t - Curitiba - Paraná

DENON/IHÓVEL : HUNICÍPIO : TERRA ORGANICA

ESTABO : PR

COMUNIDADE : EMBERECO (p/ Correspondência) : R: ANTONIO-DOS REIS CAVALHEIRO, 91

IDENTIFICAÇÃO | X- | X

I AREIAI SILTEIARGILAI

1 01 1 42.0 1 28.0 1 30.0 1

MOTA: A presente amálise tem sem valor restrito as amostras entregues ao S.C.A.

Responsave Técnico Eng P Age - CREA متثن Chefe do Repartamento
Prof. Valumque Costa: Lime
for Appe - Catholic as 1922

Apêndice 3 - Quadro da análise de variância: Controle de Mortalidade de A. fraterculus inoculadas com diferentes dosagens de S. carpocapsae e S. glaseri

Coef. de variação	S.Q.	G. L.	Q.M.	Valor F	Prob.>F
Fatores					
A: Dosagens	47324.654	5	9464.9307	103.959	.0000
B: Nematóides	89.989	1	89.9885	.988	.3357
Interações					
AB	1843.0931	5	368.61862	4.049	.0038
Resíduo	4370.1413	48	91.04461		
TOTAL	53627.876	59			

Apêndice 4: Quadro da análise de variância: Controle de A. fraterculus com S. carpocapsae em diferentes temperaturas

Coef. de variação	S.Q.	G. L.	Q.M.	Valor F	Prob.>F
Fatores					
A: Dosagens	67003.202	5	13400.640	323.272	.0000
B: Temperatura	27402.757	3	9134.252	220.351	.0000
Interações					
AB	13692.714	15	912.84759	22.021	.0000
Resíduo	3979.5001	96	41.453126		
TOTAL	112078.17	119			

Apêndice 5 - Quadro da análise de variância da formação de pupas: Controle de A. fraterculus com S. carpocapsae em diferentes temperaturas

S.Q.	G. L.	Q.M.	Valor F	Prob.>F
4352.799	5	870.5599	5.300	.0002
11644.878	3	3881.6259	23.630	.0000
3378.6512	15	225.2434	1.371	.1774
15769.432	96	164.26491		
35145.760	119			
	4352.799 11644.878 3378.6512 15769.432	4352.799 5 11644.878 3 3378.6512 15 15769.432 96	4352.799 5 870.5599 11644.878 3 3881.6259 3378.6512 15 225.2434 15769.432 96 164.26491	4352.799 5 870.5599 5.300 11644.878 3 3881.6259 23.630 3378.6512 15 225.2434 1.371 15769.432 96 164.26491

Apêndice 6 - Quadro da análise de variância: Controle de A. fraterculus com aplicação de S. carpocapsae em solo textura barro-argilosa

Coef. de variação	S.Q.	G. L.	Q.M.	Valor F	Prob.>F
Entre dosagens	22085.922	3	7361.9739	71.381	.0000
Dentro das dosagens	1650.172	16	103.1358		
Total	23736.094	19			

Apêndice 7 - Médias, desvio padrão e intervalo de confiança para os fatores doses e nematóide: Mortalidade de A. fraterculus expostas a S. carpocapsae e S. glaseri

			desvio		Intervalo de	
Nível	Parcelas	Médias	padrão	confian	ça (95%)	
Média geral	60	43.442333	1.2318320	40.965002	45.919664	
DOSAGENS (A)						
0	10	1.334000	3.0173599	-4.734197	7.402197	
5	10	20.000000	3.0173599	13.931803	26.068197	
14	10	35.334000	3.0173599	29.265803	41.402197	
40	10	53.999000	3.0173599	47.930803	60.067197	
112	10	64.001000	3.0173599	57.932803	70.069197	
316	10	85.986000	3.0173599	79.917803	92.054197	
NEMATÓIDES (B)						
1 - S. glaseri	30	42.217667	1.7420736	38.714191	45.721142	
2 - S. carpocapsae	30	44.667000	1.7420736	41.163525	48.170475	
INTERAÇÕES AB						
0 1	5	1.334000	4.2671913	-7.247727	9.915727	
0 2	5	1.334000	4.2671913	-7.247727	9.915727	
5 1	5	14.666000	4.2671913	6.084273	23.247727	
5 2	5	25.334000	4.2671913	16.752273	33.915727	
14 1	5	25.334000	4.2671913	16.752273	33.915727	
14 2	5	45.334000	4.2671913	36.752273	53.915727	
40 1	5	53.332000	4.2671913	44.750273	61.913727	
40 2	5	54.666000	4.2671913	46.084273	63.247727	
112 1	5	72.000000	4.2671913	63.418273	80.581727	
112 2	5	56.002000	4.2671913	47.420273	64.583727	
316 1	5	86.640000	4.2671913	78.058273	95.221727	
316 2	5	85.332000	4.2671913	76.750273	93.913727	

Apêndice 8 - Médias, desvio padrão e intervalo de confiança para os fatores doses e temperatura: Controle de A. fraterculus com S. carpocapsae em diferentes temperaturas

Nível	Parcelas	Médias	Desvio padrão	Intervalo de confiança (95%)	
Média geral	120	37.442833	.5877438	36.275910	38.609757
A: DOSAGENS					
0	20	2.334000	1.4396723	524368	5.192368
5	20	17.000500	1.4396723	14.142132	19.858868
14	20	29.666500	1.4396723	26.808132	32.524868
40	20	45.000000	1.4396723	42.141632	47.858368
112	20	61.661000	1.4396723	58.802632	64.519368
316	20	68.995000	1.4396723	66.136632	71.853368
B: TEMPERATURA			-		
15	30	13.555667	1.1754875	11.221819	15.889514
20	30	35,555667	1.1754875	33.221819	37.889514
25	30	52.215333	1.1754875	49.881486	54.549181
30	30	48.444667	1.1754875	46.110819	50.778514
INTERAÇÃO: AB					
0 15	5	1.334000	2.8793446	-4.382736	7.050736
0 20	5	1.334000	2.8793446	-4.382736	7.050736
0 25	5	2.668000	2.8793446	-3.048736	8.384736
0 30	5	4.000000	2.8793446	-1.716736	9.716736
5 15	5	6.668000	2.8793446	.951264	12.384736
5 20	5	13.332000	2.8793446	7.615264	19.048736
5 25	5	26.668000	2.8793446	20.951264	32.384736
5 30	5	21.334000	2.8793446	15.617264	27.050736
14 15	5	11.998000	2.8793446	6.281264	17.714736
14 20	5	16.000000	2.8793446	10.283264	21.716736
14 25	5	41.334000	2.8793446	35.617264	47.050736
14 30	5	49.334000	2.8793446	43.617264	55.050736
40 15	5	18.666000	2.8793446	12.949264	24.382736
40 20	5	40.000000	2.8793446	34.283264	45.716736
40 25	5	60.000000	2.8793446	54.283264	65.716736
40 30	5	61.334000	2.8793446	55.617264	67.050736
112 15	5	20,000000	2.8793446	14.283264	25.716736
112 20	5	60.000000	2.8793446	54.283264	65.716736
112 25	5	91.978000	2.8793446	86.261264	97.694736
112 30	5	74.666000	2.8793446	68.949264	80.382736
316 15	5	22.668000	2.8793446	16.951264	28.384736
316 20	5	82.668000	2.8793446	76.951264	88.384736
316 25	5	90.644000	2.8793446	84.927264	96.360736
316 30	5	80.000000	2.8793446	7 4.283264	85.716736